

# 一般社団法人 軽金属学会

## 第 149 回秋期大会プログラム

土曜日、日曜日とも昼食を持参されることをお勧めします

- 主催：一般社団法人軽金属学会  
後援：国立大学法人横浜国立大学、公益財団法人軽金属奨学会  
特別協力：公益財団法人横浜市観光協会  
協賛：一般社団法人日本アルミニウム協会、一般社団法人日本マグネシウム協会、  
一般社団法人日本チタン協会、一般社団法人日本塑性加工学会、公益社団法人日本鑄造工学会、  
一般社団法人軽金属溶接協会、公益社団法人日本金属学会、一般社団法人日本鉄鋼協会、  
公益社団法人日本材料学会、一般社団法人日本機械学会、公益社団法人自動車技術会、  
一般社団法人日本ダイカスト協会、一般社団法人軽金属製品協会、一般社団法人溶接学会、  
公益社団法人日本顕微鏡学会、一般社団法人粉体粉末冶金協会、日本チタン学会、  
一般社団法人資源・素材学会、一般社団法人日本航空宇宙学会、日本熱物性学会、  
日本バイオマテリアル学会、  
会期：2025年11月7日（金）～ 9日（日）  
会場：横浜国立大学常盤台キャンパス（〒240-8501 神奈川県横浜市保土ヶ谷区常盤台79-1）  
WEB 視聴用 Zoom 会場併設（ポスターセッション、懇親会除く）  
懇親会会場：横浜国立大学第一食堂（〒240-8501 神奈川県横浜市保土ヶ谷区常盤台79-1）

### 行事スケジュール：

11月7日（金） 横浜国立大学常盤台キャンパス 中央図書館メディアホール（Zoom 会場併設）

14:00～14:30 表彰式

2025年度軽金属論文賞・論文新人賞

第60回小山田記念賞

第48回高橋記念賞

第24回軽金属躍進賞

第43回軽金属奨励賞

第17回軽金属女性未来賞

14:45～15:45 第60回小山田記念賞受賞講演

16:00～17:00 市民フォーラム「デザイン要素としてのアルミの魅力・過去の実作から」

建築家ユニットSANAA (Sejima and Nishizawa and Associates) パートナー

建築家 棚瀬 純孝 氏

17:10～18:40 レセプション・表彰式招待者懇親会（横浜国立大学大学会館 ポルティ）

11 月 8 日 (土) 横浜国立大学常盤台キャンパス 理工学部講義棟A (Zoom 会場併設)

---

8:55~12:10 一般講演 (第1~3、5会場)

テーマセッション「7000系アルミニウム合金の時効析出と諸特性」 (第4会場)

10:30~12:10 軽金属奨学会「特別奨学生セッション」 (第5会場)

12:10~13:10 女性会員の会 (理工学部講義棟 3階 304室)

13:10~15:15 ポスターセッション (理工学部講義棟 2、3階 廊下、Zoom 会場併設なし)

※在席時間をポスターNo.の奇数/偶数に分けて実施

13:00~16:50 軽金属企業研究会 (理工学部講義棟 1階 101室)

15:20~16:40 一般講演 (第1~3、5会場)

企業招待講演 リョービ株式会社 新田 真 氏 (第4会場)

16:50~17:50 男女共同参画セッション (第5会場)

18:00~20:00 懇親会 (横浜国立大学第一食堂)

ご挨拶 横浜国立大学 梅原 出 学長

津軽三味線演奏 津軽三味線 佐々木光儀流 二代目家元 佐々木光儀

11 月 9 日 (日) 横浜国立大学常盤台キャンパス 理工学部講義棟A (Zoom 会場併設)

---

8:55~16:45 一般講演 (第1~3、5会場)

テーマセッション「7000系アルミニウム合金の時効析出と諸特性」 (第4会場)

12:10~13:10 若手の会 (理工学部講義棟 3階 304室)

11 月 8 日 (土)、9 日 (日) 横浜国立大学常盤台キャンパス 理工学部講義棟A 1階 廊下

---

機器・カタログ展示

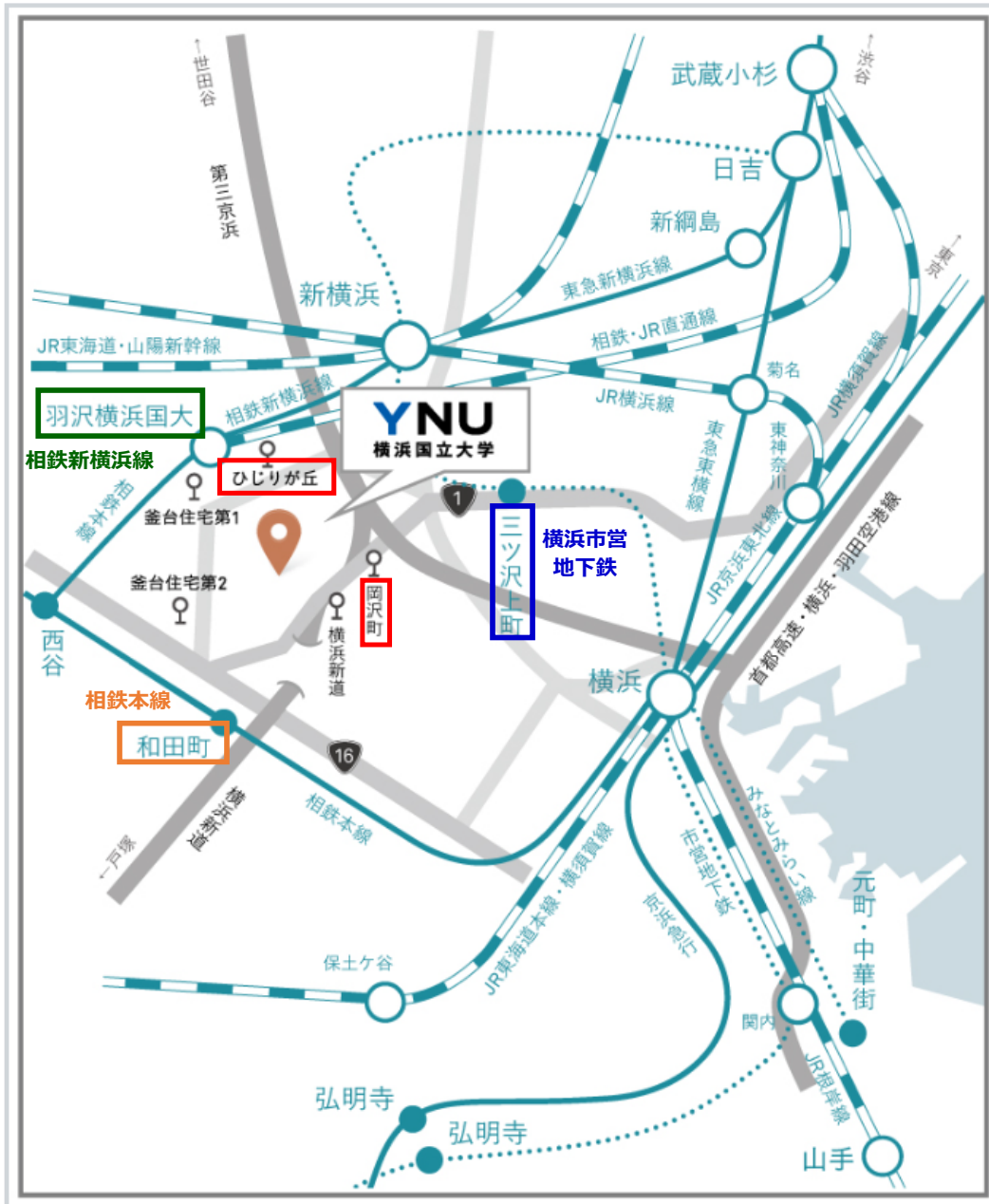
■講演時間 一般講演は講演 15 分、質疑応答 5 分

■総合受付 11 月 7 日 (金) なし

11 月 8 日 (土)、9 日 (日)

8:15~ 横浜国立大学常盤台キャンパス 理工学部講義棟 1階 入口

<交通案内> (時間は、講演会場までのおおよその時間です)



- 電車**
- [横浜市営地下鉄] 三ツ沢上町駅下車 徒歩20分
  - [相鉄新横浜線] 羽沢横浜国大駅下車 徒歩20分
  - [相鉄本線] 和田町駅下車 徒歩25分

**バス** (いずれも横浜駅西口バスターミナルより乗車してください)

<https://www.ynu.ac.jp/access/bus.html>

- [相鉄バス] 9番乗り場より「上星川駅」または「釜台住宅第3」行のバスに乗車  
「ひじりが丘」バス停下車 (乗車時間15分) 徒歩8分
- [相鉄バス] 10番乗り場より「交通裁判所経由横浜駅西口」行のバスに乗車  
「岡沢町」バス停下車 (乗車時間15分) 歩道橋を渡って 徒歩12分

[横浜市営バス] 11番乗り場より「循環外回り横浜駅西口」行のバスに乗車  
**「岡沢町」**バス停下車（乗車時間20分） 歩道橋を渡って 徒歩12分

なお、金曜日のみ学内乗り入れバスの運行があります（最も便利です）

[https://www.ynu.ac.jp/access/pdf/bus\\_all.pdf](https://www.ynu.ac.jp/access/pdf/bus_all.pdf)

[https://www.ynu.ac.jp/access/pdf/bus\\_jikoku.pdf](https://www.ynu.ac.jp/access/pdf/bus_jikoku.pdf)

[相鉄バス] 10番乗り場より「横浜国大経由 横浜新道・横浜駅西口」行のバスに乗車  
**「国大北」**バス停下車（乗車時間20分） 徒歩2分

[横浜市営バス] 14番乗り場より「国大西経由 横浜駅西口」行のバスに乗車  
**「国大北」**バス停下車（乗車時間20分） 徒歩2分

タクシー（乗車時間約10分）

乗車したまま正門を通過後、**「国大北」**バス停手前の看板を目安に降車してください

詳細は以下の大学ホームページでご確認いただけます

<https://www.ynu.ac.jp/access/>

## 講演会場までの徒歩ルート



各門（正門、北門、西門、南通用門）から講演会場（メディアホール、理工系講義棟A）までは5分程度です

QRコードをスマートフォンで読み取り、グーグルマップのナビ機能をご使用になると、講演会場までスムーズにお越し頂けます

**相鉄新横浜線「羽沢横浜国大駅」**からの徒歩ルートは以下のURLでもご覧いただけます

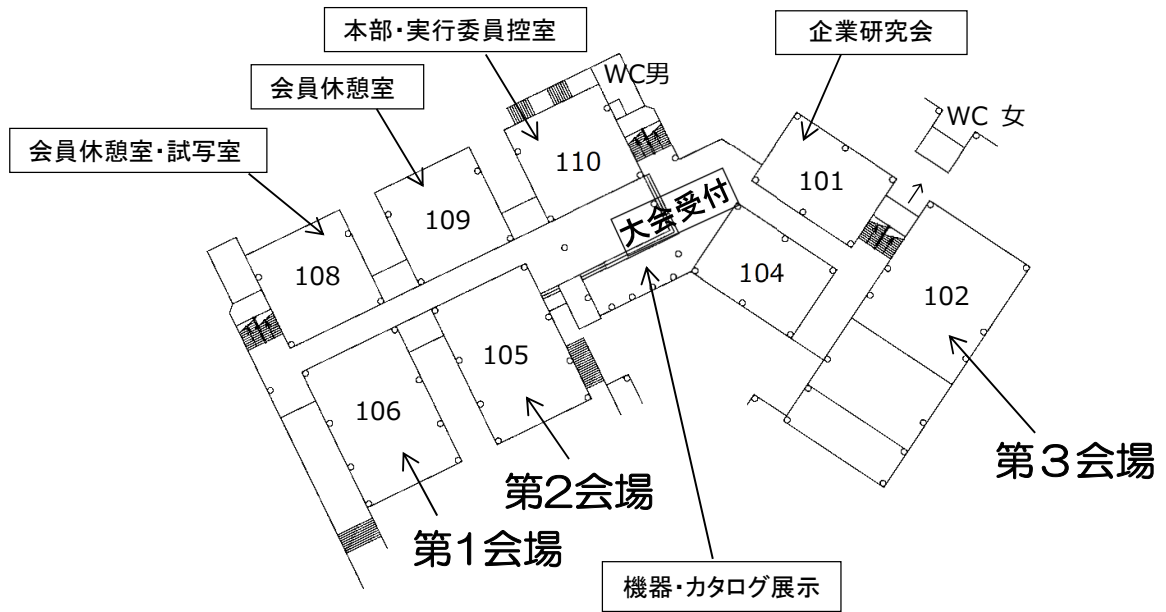
[https://www.ripo.ynu.ac.jp/wp-content/uploads/2020/06/%EF%BD%8A%EF%BD%92\\_sotetu.pdf](https://www.ripo.ynu.ac.jp/wp-content/uploads/2020/06/%EF%BD%8A%EF%BD%92_sotetu.pdf)

路線バス最寄バス停（**ひじりが丘、岡沢町**）および横浜市営地下鉄「**三ツ沢上町駅**」からの徒歩ルート

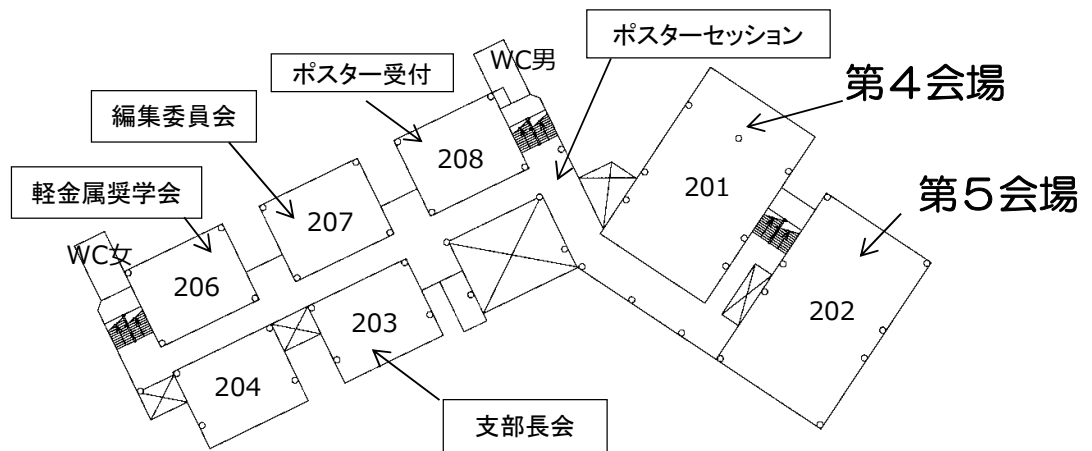


理工学部講義棟A

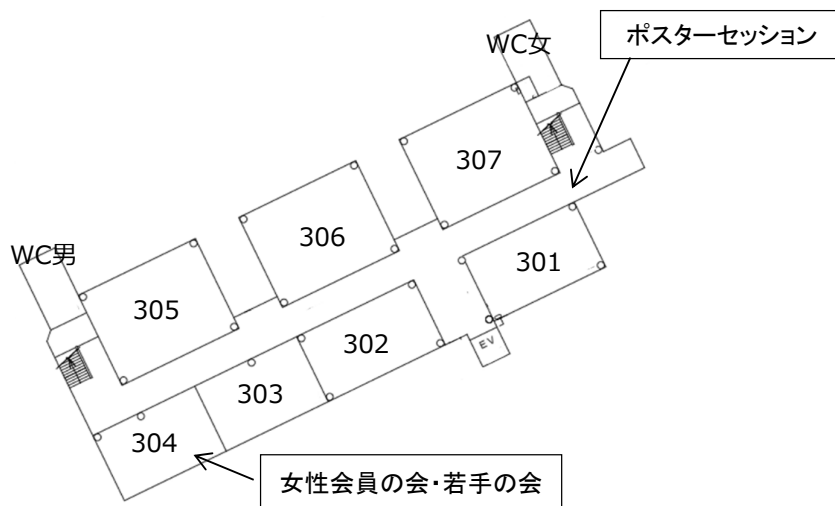
1階



2階



3階



一般社団法人 軽金属学会  
第149回秋期大会プログラム

講演セッション一覧

会場：横浜国立大学 常盤台キャンパス 理工学部講義棟A

2025年11月8日(土)

	第1会場 (1階 106)	第2会場 (1階 105)	第3会場 (1階 102)	第4会場 (2階 201)	第5会場 (2階 202)
8:55~ 10:15	表面処理1 座長：館山 慶太 副座長：山田 隆一 講演 1 ~ 4	時効析出1 座長：鈴木 飛鳥 副座長：滝口 浩一郎 講演 31 ~ 34	急冷凝固1 座長：中津川 勲 副座長：山本 篤史郎 講演 61 ~ 64	T1 「7000系アルミニウム合金の時効析出と諸特性」1 座長：安藤 哲也 副座長：箕田 正 講演 91 ~ 93	回復再結晶 座長：藤原 比呂 副座長：寺田 大将 講演 114 ~ 117
休憩					
10:30~ 12:10	表面処理2 座長：阿相 英孝 副座長：沼尾 臣二 講演 5 ~ 9	粉末冶金 座長：久保田 正広 副座長：佐伯 雅之 講演 35 ~ 39	急冷凝固2 座長：千野 靖正 副座長：長谷川 収 講演 65 ~ 69	T1 「7000系アルミニウム合金の時効析出と諸特性」2 座長：成田 麻未 副座長：本間 智之 講演 94 ~ 98	特別奨学生セッション 座長/副座長： 宇都宮 裕/佐藤 英一 講演 118 ~ 122
昼食 / 女性会員の会 (3階304会議室)					
13:10~ 14:10	ポスターセッション① ポスターNo.奇数の発表者在席 (2, 3階 廊下)				
14:15~ 15:15	ポスターセッション② ポスターNo.偶数の発表者在席 (2, 3階 廊下)				
休憩					
15:20~ 16:40	水素 座長：堀川 敬太郎 副座長：渡邊 満洋 講演 10 ~ 13	接合1 座長：平田 智丈 副座長：茂泉 健 講演 40 ~ 43	時効析出2 座長：徳永 透子 副座長：小貫 祐介 講演 70 ~ 72	企業招待講演 座長：沼尾 臣二 副座長：岩尾 祥平	生体材料 座長：小林 郁夫 副座長：佐伯 雅之 講演 123 ~ 126
休憩					
16:50~ 17:50					男女共同参画 セッション
憩親会 (横浜国立大学第一食堂)					
18:00~ 20:00					

2025年11月9日(日)

	第1会場 (1階 106)	第2会場 (1階 105)	第3会場 (1階 102)	第4会場 (2階 201)	第5会場 (2階 202)
8:55~ 10:15	力学特性1 座長：北條 智彦 副座長：猿渡 直洋 講演 14 ~ 17	接合2 座長：半谷 禎彦 副座長：段野下 宙志 講演 44 ~ 47	腐食防食1 座長：菅原 龍太郎 副座長：岡安 和人 講演 73 ~ 76	T1 「7000系アルミニウム合金の時効析出と諸特性」3 座長：穴戸 久郎 副座長：荒田 昌宏 講演 99 ~ 101	溶解鑄造1 座長：高松 聖美 副座長：鈴木 良祐 講演 127 ~ 130
休憩					
10:30~ 12:10	力学特性2 座長：松永 哲也 副座長：本間 智之 講演 18 ~ 22	接合3 座長：渡邊 満洋 副座長：山本 篤史郎 講演 48 ~ 52	腐食防食2 座長：多田 英司 副座長：猿渡 直洋 講演 77 ~ 81	T1 「7000系アルミニウム合金の時効析出と諸特性」4 座長：水野 正隆 副座長：清水 一行 講演 102 ~ 106	リサイクル 座長：段野下 宙志 副座長：風間 仁 講演 131 ~ 135
昼食 / 若手の会 (3階304会議室)					
13:10~ 14:30	力学特性3 座長：清水 一行 副座長：足立 大樹 講演 23 ~ 26	塑性加工1 座長：小林 純也 副座長：湯本 敦史 講演 53 ~ 56	腐食防食3 座長：北園 幸一 副座長：吉田 晃 講演 82 ~ 85	T1 「7000系アルミニウム合金の時効析出と諸特性」5 / 時効析出3 座長：小松 健人 副座長：倉本 繁 講演 107 ~ 110	溶解鑄造2 座長：久保 貴司 副座長：原田 陽平 講演 136 ~ 139
休憩					
14:45~ 16:25	力学特性4 座長：小田 省吾 副座長：中村 雅史 講演 27 ~ 30	塑性加工2 座長：伊藤 勉 副座長：長谷川 収 講演 57 ~ 60	ポーラス材料 座長：久米 裕二 副座長：小原 美良 講演 86 ~ 90	時効析出4 座長：池田 賢一 副座長：大瀧 光弘 講演 111 ~ 113	溶解鑄造3 座長：松島 博実 副座長：小林 郁夫 講演 140 ~ 144

2025年11月8日(土)

第1会場 (1階106)	第2会場 (1階105)	第3会場 (1階102)	第4会場 (2階201)	第5会場 (2階202)
<p>表面処理1</p> <p>座長：神戸製鋼 館山 慶太 副座長：山梨大 山田 隆一</p> <p>1 水蒸気雰囲気下におけるアルミニウム合金上へのAl<sub>2</sub>O<sub>3</sub>(OH)皮膜形成における溶質原子の役割 / 芝浦工大 (D3)栗原健輔・芹澤 愛</p>	<p>時効析出1</p> <p>座長：名古屋大 鈴木 飛鳥 副座長：UACJ 滝口 浩一郎</p> <p>31 【軽金属女性未来賞受賞講演】軟X線XAFS測定によるAl-Mg-Si合金中のナノクラスタ形成挙動の解析 / 兵庫県立大 田中 左奈・足立大樹</p>	<p>急冷凝固1</p> <p>座長：産総研 中津川 勲 副座長：宇都宮大 山本 篤史郎</p> <p>61 単ロールス急冷凝固法により作製したMg-9%Al-3%Ca合金薄帯の電気化学特性および微細組織に及ぼす圧延加工の影響 / 長岡技術大 中田大貴 富山大 (既卒) 魚野 凛・(M1)松本泰知・会田哲夫 埼玉産技セ 栗原英紀 中越合金精工 田畑裕信 大阪工大 羽賀俊雄 富山県立大 鈴木真由美 東北大金研 附田之欣・市坪 哲</p>	<p>T1 「7000系アルミニウム合金の時効析出と諸特性」1</p> <p>座長：室蘭工大 安藤 哲也 副座長：UACJ 箕田 正</p> <p>91 【軽金属奨励賞受賞講演】熱処理型アルミニウム合金の材料特性向上 / UACJ 高谷 舞</p>	<p>回復再結晶</p> <p>座長：九州大 藤原 比呂 副座長：千葉工大 寺田 大将</p> <p>114 Spherical Index法を用いたアルミニウム圧延材のEBSD観察 / アメテック 吹野達也</p>
<p>2 水蒸気プロセスによるリサイクルAl-Si-Cu-Mg合金の強度および耐食性の向上 / 芝浦工大 (M2)六沼実徳・(D1)東海林瑞希・芹澤 愛</p>	<p>32 Al-Mg-Si合金の等温時効生成物が強度・延性バランスにおよぼす影響 / 大同大 (M2)加藤涼介・高田 健</p>	<p>62 マグネシウム蓄電池用Mg-Al-Ca-Si合金薄帯の電気化学特性に及ぼす圧延加工温度の影響 / 富山大 (M1)松本泰知 東北大金研 附田之欣 中越合金精工 田畑裕信 埼玉産技セ 栗原英紀 長岡技術大 中田大貴 富山県立大 鈴木真由美 大阪工大 羽賀俊雄 富山大 会田哲夫・松田健二 東北大金研 市坪 哲</p>	<p>92 【基調講演】Al-Zn-Mg系合金の組織制御 / 超々シユアルミニウム研究所 吉田英雄 UACJ 箕田 正 名古屋工大 成田麻未</p>	<p>115 FeおよびSiを多く含むAl-Mg-Si合金の微視的組織が曲げ加工時の亀裂進展に及ぼす影響 / 横浜国立大 (M2)近藤快二・大瀬光弘・廣澤 渉一 神戸製鋼所 穴戸久郎</p>
<p>3 水蒸気プロセスによりAl-Mg-Si合金上に作製したAl<sub>2</sub>O<sub>3</sub>(OH)皮膜の密着性および耐食性に及ぼす高温酸化皮膜の影響 / 芝浦工大 (M2)白田悠斗・(D3)栗原健輔・芹澤 愛</p>	<p>33 一方向凝固したAl-Mg-Si合金の微細組織と時効硬化挙動 / 北海道大 (D1)白砥悠之・(B4)竹内脩斗・池田賢一・三浦誠司</p>	<p>63 単ロールス急冷凝固法により作製したMg-9%Al-3%Ca合金薄帯の電気化学特性および微細組織に及ぼすMnの影響 / 東北大金研 附田之欣 富山大 (M1)松本泰知・(B4)清水悠弘・会田哲夫 中越合金精工 田畑裕信 富山県立大 鈴木真由美 大阪工大 羽賀俊雄 長岡技術大 中田大貴 埼玉産技セ 栗原英紀 東北大金研 市坪 哲</p>	<p>116 1100アルミニウムの強度に及ぼす熱間加工条件の影響 / UACJ 稲垣睦月・中西英貴・田中 宏樹 兵庫県立大 足立大樹</p>	<p>117 ECAP加工後の短時間加熱がAM60Bマグネシウム合金のミクロ組織に及ぼす影響 / 山梨大 (M2)白倉健彦・猿渡直洋 丸真熱処理工業 関谷英治 山梨大 中山栄浩</p>
<p>4 アルミニウム合金上ニッケルめっきにおけるめっき液のpHがめっき膜に及ぼす影響 / 日本軽金属 池田大樹・清水さゆり</p>	<p>34 Rectification of β' phase arbitrarily corrected for detection efficiency using atom probe in Al-Mg-Si alloy / KITECH,UST,KIST (D1)Mi-Young Lee KITECH,UST (D2)Jiwook Park Northwestern Univ. Dieter Isheim・David N. Seidman KITECH,UST,KIST JaeHwang Kim KITECH Min-Su Kim</p>	<p>64 マグネシウム蓄電池用負極材料薄帯の塩化鉄(Ⅲ)水溶液浸漬による酸化鉄被膜形成と電気化学特性に及ぼす影響 / 富山大 (M2)村西浩基 東北大金研 附田之欣 埼玉産技セ 栗原英紀 中越合金精工 田畑裕信 大阪工大 羽賀俊雄 富山県立大 鈴木真由美 長岡技術大 中田大貴 富山大 会田哲夫 東北大金研 市坪 哲</p>	<p>93 Quench induced precipitation and age-hardening behavior of Al-Zn-Mg alloys / 名古屋工大 成田麻未 Univ. Rostock Hannes Fröck SINTEF Ind. Calin D.Marioara 超々シユアルミニウム研究所 吉田英雄 Univ. Rostock Benjamin Milkereit</p>	

8:55~  
10:15

2025年11月8日(土)

第1会場 (1階106)	第2会場 (1階105)	第3会場 (1階102)	第4会場 (2階201)	第5会場 (2階202)
<p>表面処理2</p> <p>座長：工学院大 阿相 英孝 副座長：レゾナック 沼尾 臣二</p>	<p>粉末冶金</p> <p>座長：日本大 久保田 正広 副座長：日軽金 佐伯 雅之</p>	<p>急冷凝固2</p> <p>座長：産総研 千野 靖正 副座長：都立産技高専 長谷川 収</p>	<p>T1「7000系アルミニウム合金の時効析出と諸特性」2</p> <p>座長：名古屋工大 成田 麻未 副座長：長岡技科大 本間 智之</p>	<p>特別奨学生セッション</p> <p>118-120座長、121-122副座長： 大阪大 宇都宮 裕 118-120副座長、121-122座長： JAXA 佐藤 英一</p>
<p>5 ショットピーニングによるマグネシウム合金板への窒化物薄膜の接合 / 兵庫県立大 原田 泰典</p>	<p>35 金属積層造形したβ相含有TiAl合金における特異O<sub>2</sub>/N<sub>2</sub>プラズマ処理による組織形成挙動 / 大阪大 趙 研・(M2)河野圭希 東京科学大 竹山雅夫 大阪大 中野貴由・安田弘行</p>	<p>65 アルミニウム合金とマグネシウム合金からなる急冷凝固クワッド相作製用単ロールキャストの試作 / 大阪工大 (M1)木下 和 富山大(M2)原 一希 東北大金研 附田之欣 中越合金鋳工 田畑裕信 埼玉産技セ 栗原英紀 富山県立大 鈴木真由美 長岡技科大 中田大貴 富山大 会田哲夫 東北大金研 市坪 哲 大阪工大 羽賀俊雄</p>	<p>94 Al-Zn-Mg合金における溶質原子クラスター中の格子間原子形成過程の解明 / 大阪大 水野正隆・荒木秀樹</p>	<p>118 堅牢なトナリ構造型酸化防止層による高サイクル性マグネシウム蓄電池の開発 / 東北大 (D3)飯村瑞希 NIMS 万代俊彦 Birmingham大 Manuel Smeu 北海道大 松井雅樹 東北大 本間格 北海道大 小林弘明</p>
<p>6 耐薬品性および耐熱性に優れた二層アルミナフィルターの形成 / 東京都立大 (M2)吉永みのり・池澤篤憲・柳下 崇</p>	<p>36 指向性エネルギー堆積法で作製された急冷凝固TiAl合金の特異な組織と機械的特性 / 東京都立大 寛 幸次・(M2)坂田健造・北園幸一 I70エッジ 後関一洋・水田和裕</p>	<p>66 単ロール式急冷凝固法により作製したマグネシウム/アルミニウムクワッド相のサイロ特性に及ぼす圧延加工の影響 / 富山大 (M2)原 一希 大阪工大 (M1)木下 和・羽賀俊雄 東北大金研 附田之欣 中越合金鋳工 田畑裕信 埼玉産技セ 栗原英紀 富山県立大 鈴木真由美 長岡技科大 中田大貴 富山大 会田哲夫 東北大金研 市坪 哲</p>	<p>95 その場X線小角散乱法を用いたAl-6%Zn-0.75%Mg冷材の時効析出挙動観察 / 北海道大 石田倫教・鈴木朝巳 名古屋工大 成田麻未 超々ツェリウム研究所 吉田英雄 北海道大 大沼正人</p>	<p>119 多結晶β型チタン合金Ti-22Vにおけるすべり面の執評価 / 九州大 (D2)矢野 倫・森川龍哉・山崎重人 原子力機構 都留智仁 九州大 田中将己</p>
<p>7 高温下で形成するCaO/MgO二層皮膜形成がMg-Al-Ca合金の不燃性に及ぼす影響 / 熊本大MRC 井上晋二 JASRI Rosantha Kumara 熊本大MRC 河村 能人</p>	<p>37 NaClをスーパークーラーとして放電プロセス凍結法を用いて作製した多孔質Ti-6Al-4V合金の組織と機械的特性 / 東京科学大 (M2)組井涼章・小林郁夫・オミノ・(M2)立石佑弥</p>	<p>67 リチウムイオン電池用90%Al合金薄層への加熱温度の検討 / 富山大 (B4)清水悠夫 東北大金研 附田之欣 埼玉産技セ 栗原英紀 中越合金鋳工 田畑裕信 大阪工大 羽賀俊雄 富山大 土屋大樹・松田 健二・会田哲夫 東北大金研 市坪 哲</p>	<p>96 時効硬化型アルミニウム合金における加工硬化挙動に及ぼす析出強化量の影響 / 兵庫 庫県立大 足立大樹・(M2)井上敬仁・(M1)宮路悠生</p>	<p>120 L-PBF法による微細組織制御を介した準安定β型Ti合金の低ヤング率と高強度の両立 / 大阪大 (M2)宮澤啓太郎・小笹良輔 東京大 江草 大佑・阿部英司 大阪大 多根正和・中野貴由</p>
<p>8 多機能性皮膜の創製によるチタン材料の高性能化 / 茨城大 (M2)田中穂大・中村雅史</p>	<p>38 Znめっきした純Mg粉末の焼結と特性評価 / 鳥取県産業技術セ 盛根 豊 菊水 フォーシング 野川雅弘 鳥取県産業技術セ 田中俊行</p>	<p>68 リチウム蓄電池用Al-Si合金負極薄層へのMn添加量が電気化学特性に及ぼす影響 / 富山大 (M1)水野 樹・(M2)日比野匠朗 東北大金研 附田之欣 埼玉産技セ 栗原英紀 中越合金鋳工 田畑裕信 大阪工大 羽賀俊雄 富山大 土屋大樹・松田 健二・会田哲夫 東北大金研 市坪 哲</p>	<p>97 溶体化処理後に冷却速度制御したAl-Zn-Mg合金の時効析出過程 / 室蘭工大 (D3)荒木駿佑・(M1)上野晴輝・安藤哲也 名古屋工大 成田麻未 超々ツェリウム研究所 吉田英雄 北海道大 池田賢一・(M2)梅野駿介 室蘭工大 田湯善章</p>	<p>121 Al-Cu-Si合金系相変化マイクロカプセルの過冷却挙動に及ぼす初期過熱度の影響 / 北海道大 (D3)清水登斗・柳橋誠太・シエームメルハート・能村貴宏</p>
<p>9 自動車車体部品への適用に向けた6000系アルミニウム合金板の表面品質評価 / 日産自動車 百瀬 樹・村上元一郎・小澤健一・園田真也 神戸製鋼所 青木拓朗・山口正浩</p>	<p>39 バイオインスパイアード多孔質アンカーを有したAl/PA6接合強度向上 / 名古屋大 園 弘云・鈴木飛鳥・小橋 真</p>	<p>69 単ロール式急冷凝固法によるAl-Mn合金薄層の作製とリチウム蓄電池用負極特性 / 富山大 (M1)日比野匠朗 東北大金研 附田之欣 埼玉産技セ 栗原英紀 中越合金鋳工 田畑裕信 大阪工大 羽賀俊雄 富山大 土屋大樹・松田健二・会田哲夫 東北大金研 市坪 哲</p>	<p>98 Al-6Zn-0.79Mg合金冷材の時効に伴う析出組織変化 / 長岡技科大 (M2)塚崎 志・本間智之</p>	<p>122 粉塵濃度がアルミニウム粉末火炎の予熱帯に及ぼす影響 / 広島大 (D4)佐伯琳々・金 佑助</p>

10:30~  
12:10

2025年11月8日(土)

第1会場 (1階106)	第2会場 (1階105)	第3会場 (1階102)	第4会場 (2階201)	第5会場 (2階202)
<p>水素</p> <p>座長：大阪大 堀川 敬太郎 副座長：日本大 渡邊 満洋</p>	<p>接合1</p> <p>座長：大阪技術研 平田 智文 副座長：いすゞ自動車 茂泉 健</p>	<p>時効析出2</p> <p>座長：名古屋工大 徳永 透子 副座長：東京電機大 小貫 祐介</p>	<p>企業招待講演</p> <p>座長：レゾナック 沼尾 臣二 副座長：MAアルミ 岩尾 祥平</p>	<p>生体材料</p> <p>座長：東京科学大 小林 郁夫 副座長：日軽金 佐伯 雅之</p>
<p>10 ミエオプティクス緩和法と昇温脱離分析を利用したAl-Cu-Fe合金の水素トラップ機構 / 富山大 西村克彦・松田健二・赤丸浩士・並木孝洋・土屋大樹・李 昇原 原子力機構 髙本 亘 鳥取大 清水一行 九州大 戸田裕之</p>	<p>40 アルミニウム合金摩擦接合部での疲労強度特性に対する影響因子 / 長岡技術科大 (M2) 竹内克成・宮下幸雄 日本軽金属 瀬尾伸城 長岡技術科大 張 楠</p>	<p>70 遷移金属元素の添加がMg-Co-Y系LPSO相の相安定性に与える影響 / 千葉大 (M2) 岩瀬広也・(現 日立製作所) 半田優斗・山形遼介 北海道科学大 堀内寿晃 北海道大 三浦誠司 千葉大 糸井貴臣</p>	<p>123 【軽金属先進賞受賞講演】 高生体力学機能化のための生体用タンパク質合金の組成・組織制御 / 富山大 石本卓也</p>	<p>124 β型マグネシウム合金の摩擦消耗特性に及ぼす強塑性変形の影響 / 工学院大 (M2) 駒澤直也・久保木功</p>
<p>11 HPT加工で高強度化したAl-Zn-Mg系合金の環境助長破壊に及ぼす析出物の影響 / 九州大 (M2) 竹田昌輝・藤原比呂・戸田裕之 豊橋技術科大 戸高義一・足立望・石井裕樹</p>	<p>41 ADC12アルミニウム合金/SS400鋼突合せ接合体の摩擦接合部での疲労強度特性に対する影響 / 群馬大 (M2) 石長拓磨・半谷裕彦・鈴木良祐 大阪大接合研 森貞好昭・藤井英俊</p>	<p>71 Mg-A-B三元系合金の熱処理による熱伝導率の向上に及ぼす混合エンタルピーの影響 / 熊本大 (D2) 王 運生 熊本大MRC 井上晋一・河村能人</p>		<p>125 Ti-Nb-Zr系合金焼結材におけるアルミナ付着態とナノ組織が機械的性質に及ぼす影響 / 長岡技術科大 (M2) 高橋 岳・本間智之</p>
<p>12 Mg-In-Ga系合金の水素発生挙動と電気化特性 / 千葉大 (D1) 永田涼太・(現 日立製作所) 村上隆太・(M2) 松井大洋・(M1) 廣澤朝陽・山形遼介・糸井貴臣</p>	<p>42 ADC12アルミニウム合金板の摩擦接合部での疲労強度特性に対する影響 / 群馬大 (B4) 高橋 租彦・半谷裕彦・岩崎 篤 大阪大接合研 森貞好昭・藤井英俊</p>	<p>72 Ti-35Zr合金における徐冷処理による変調組織形成 / 熊本大MRC 白石貴久・木口賢紀 九州大 嶋田雄介・飯久保智</p>		<p>126 ZM21マグネシウム合金の疲労特性に及ぼすECA加工時のひずみ速度の影響 / 山梨大 山田隆二・伊藤安海 芝浦工大 吉原正一郎 山梨県産業技術センター 鈴木大介 クローバルマグネシウムコーポレーション 野坂洋一</p>
<p>13 Mg-In-Ga系合金の組織観察と加水分解による水素発生挙動 / 千葉大 (M1) 廣澤朝陽・(D1) 永田涼太・(現 日立製作所) 村上隆太・(M2) 松井大洋・山形遼介・糸井貴臣</p>	<p>43 A1050アルミニウム/SS400鋼の摩擦接合部での疲労強度特性に対する影響 / 群馬大 (B4) 高橋 租彦・半谷裕彦・岩崎 篤 大阪大接合研 森貞好昭・藤井英俊</p>			

15:20~  
16:40

2025年11月9日(日)

第1会場 (1階106)	第2会場 (1階105)	第3会場 (1階102)	第4会場 (2階201)	第5会場 (2階202)
<p>力学特性1</p> <p>座長：東北学院大 北條 智彦 副座長：山梨大 猿渡 直洋</p>	<p>接合2</p> <p>座長：群馬大 半谷 禎彦 副座長：東京科学大 段野下 宙志</p>	<p>腐食防食1</p> <p>座長：レゾナック 菅原 龍太郎 副座長：横浜国大 岡安 和人</p>	<p>T1 「7000系アルミニウム合金の時効析出と諸特性」3</p> <p>座長：神戸製鋼 穴戸 久郎 副座長：神戸製鋼 荒田 昌宏</p>	<p>溶解铸造1</p> <p>座長：千葉工大 高松 聖美 副座長：群馬大 鈴木 良祐</p>
<p>14 【軽金属鋳造】3D/4Dマルチモーター解析によるカウチン応答および損傷挙動の直接計測 / 九州大 藤原比呂</p>	<p>44 電磁圧接による接合界面での非晶質層の形成場合による鋼とアルミニウム合金の接合 / 千葉大 (B4) 塚家友理 (現 日立製作所) 兼松 稜・山形遼介 都立産技高専 岡川啓悟 千葉大 糸井貴臣</p>	<p>73 工業用純アルミニウムAAA1050の抗菌性及びカソード反応特性の影響解析 / 東京科学大 小轟 匠・多田英司</p>	<p>99 【軽金属鋳造】量子ビームによるAl-Zn-Mg系合金の水素トラップと水素脆性の解析 / 鳥取大 清水二行</p>	<p>127 アルミニウム合金DC鋳造時に形成される表層凝固組織の自動評価技術の開発 / UACJ 益山友理</p>
<p>15 レーザ粉末床溶融結合により造形したα-Al-Mg<sub>2</sub>S<sub>2</sub>二相合金の引張変形における応力分配の場XRDT測定 / 兵庫県立大 大谷祐豊 名古屋大 高田尚記 あいら産技 柳田軍史 兵庫県立大 平田雅裕・足立大樹</p>	<p>45 電磁圧接によるマグネシウム合金板/銅板の異種金属接合材の接合特性評価 / 千葉大 (M2) 水沼友希 (現 キヤノン) 小林琢磨・山形遼介 都立産技高専 岡川啓悟 千葉大 糸井貴臣</p>	<p>74 Al-S系タカスタ材料の腐食におよぼすCu含有量の影響 / JFEアルミナリーチ 小原基良 アーレスティ 折井 晋・大井田正人 JFEアルミナリーチ 鈴木幸子・村瀬正次</p>	<p>128 積層造形法とDC鋳造法で作製した5052アルミニウム合金の鋳塊組織比較 / UACJ 益山友理</p>	<p>129 セラミックフェーズアルミナによるアルミニウム溶液中の析出物の析出メカニズム / UACJ 四宮悠成・神谷京佑 IDA 松野千裕</p>
<p>16 A1200アルミニウムの引張およびせん断変形中における変形挙動と微細組織変化の場観察 / 兵庫県立大 (M2) 堀村 豊・足立大樹</p>	<p>75 陽極酸化処理を施した10507アルミニウム炭素繊維とのガルバニック腐食における水素発生挙動 / 室蘭工大 (M2) 高橋健太・境 昌宏</p>	<p>100 Al-Zn-Mg 3元系合金過時効材の析出組織と水素脆化挙動の関係 / 茨城大 (M2) 熱海進多・(M1) 井坂涼太郎 豊田自動車 機 増田翔太・樋口 毅・鈴木智博 茨城大 伊藤吾朗・倉本 繁</p>	<p>101 EBSDを用いたAl-Zn-Mg-Cu合金の水素脆化粒界破壊挙動の解析 / 茨城大 (M1) 永井基太・伊藤吾朗 NIMS 井誠一郎 茨城大 倉本 繁・小林純也</p>	<p>130 アルミニウム合金の液体急冷による半金属の非晶質化 / 東北大金研 山田 類 東北大 SRTS 岡田純平 東北大 (M2) 稲垣和希 東北大金研 和田 武・加藤秀実</p>
<p>17 A2618アルミニウム合金鍛造材の微視的組織およびクリープ特性に対する第二相粒子のサイズおよび分布状態の影響 / 神戸製鋼所 小磯尚大 横浜国立大 (M2) 中野智哉・大瀧光弘・廣澤渉一</p>	<p>76 二重構造を有する自己修復性表面層形成によるアルミニウム材料の耐食性評価 / 旭川高専 (B) 島山乃愛・(B) 柴田怜奈・(現 島根大学) 高田のん・千葉 誠</p>	<p>46 電磁圧接におけるアルミニウム板の衝撃変形解析に及ぼす間隙変化の影響 / 千葉大 (M1) 林 亮弥 (現 三菱UFJ銀行) 西村成世 都立産技高専 岡川啓悟 千葉大 糸井貴臣</p>	<p>47 水平引伸試験を想定したAl-Mn系合金を心材とするプレージングシートのろう付挙動に及ぼすSi量の影響 / 神戸製鋼所 更 友恵・鶴野招弘・秋 徹志</p>	<p>129 アルミニウム合金DC鋳造時に形成される表層凝固組織の自動評価技術の開発 / UACJ 益山友理</p>

8:55~  
10:15

第1会場 (1階106)		第2会場 (1階105)		第3会場 (1階102)		第4会場 (2階201)		第5会場 (2階202)	
<p><b>力学特性2</b></p> <p>座長：JAXA 松永 哲也 副座長：長岡技科大 本間 智之</p>		<p><b>接合3</b></p> <p>座長：日本大 渡邊 満洋 副座長：宇都宮大 山本 篤史郎</p>		<p><b>腐食防食2</b></p> <p>座長：東京科学大 多田 英司 副座長：山梨大 猿渡 直洋</p>		<p><b>T1 「7000系アルミニウム合金の 時効析出と諸特性」4</b></p> <p>座長：大阪大 水野 正隆 副座長：鳥取大 清水 一行</p>		<p><b>リサイクル</b></p> <p>座長：東京科学大 段野下 宙志 副座長：本田技術研究所 風間 仁</p>	
18	純マグネシウム単結晶におけるすべり変形の結晶方位依存性 / 熊本大MRC 安藤新三 熊本大 (M1)新野俊太 熊本大MRC 北原弘基	48	分離可能な異材接合継手設計にむけたAl/Cu異材継手の破壊形態評価 / 大阪大 小塚 智・(M1)清藤優成	77	高温水環境下におけるAl-Zn系犠牲材の粒界腐食感受性およびS添加量の影響 / UAC) 津田康平・市田寛大・山本 大	102	溶体化処理後にアブ・ケンチ処理し人工時効したAl-Zn-Mg-Cu合金の耐水素脆化特性 / 茨城大 (M1)李 金鏗・(B4)大山雄登・(D2)伊藤温海・伊藤昌朗・倉本 繁・小林純也	131	マシラシステムとアルミニウム材料への適用 / UAC) 鈴木太二 東京大 醍醐市朗
19	MF型マグネシウム合金におけるキック強化の臨界CALI閾値 / 熊本大MRC 河村能人 熊本大 (M2)土山廉平 熊本大MRC 井上晋一	49	アルミニウムとステンレス鋼の超音波接合における加圧プロセスの影響 / 大阪技術研 平田智文・田中 努	78	Al-Mg-Si合金の腐食に及ぼすCu添加の影響 / レソナック 菅原龍太郎・金下武士	103	ステータス焼入れした高強度7000系アルミニウム合金押出材の応力腐食割れ性に及ぼす粗界析出物の影響 / アイシン軽金属 吉田朋夫・濱高祐樹 富山大 李 昇原・土屋大樹・村上 哲・松田健二	132	アルミニウム合金のサイクルローの推計手法の構築 / 東京大 武山健太郎・醍醐市朗・星野 岳穂
20	相変態可能なMg-Sc合金の時効挙動およびその熱的安定性と耐熱性 / 東北大 安藤太輔・(M1)武石由大・須藤祐司	50	A6061/A6061拡散接合材の界面組織が機械的特性に及ぼす影響 / 東京科学大 (D1)土屋みらい・段野下 宙志・村石信二・熊井真次 モールズアクト 北澤敏明・巻浩志	79	高強度アルミニウム合金の表面不均一部における腐食発生 / NIMS 土井康太郎 早稲田大 (M2)福田涼介 NIMS 廣本 祥子 早稲田大 山本知之	104	Zn/Mg比の低いAl-V-Zn-Mg合金の120℃時効における析出挙動 / 富山大 (M2)Sanphiboon Wanlalak・土屋大樹・李 昇原 先進アルミニウム国際研究センター Ahmed Abrar 富山大 布村紀男・池野 進・松田健二 アイシン軽金属・柴田康林・松井宏昭・吉田朋夫	133	機械学習パターンマッチングによるJISアルミニウム合金種の高速度別のLIBSへの適用 / 立命館大 柏倉俊介・光斎翔貴・山本英嗣
21	AZ31マグネシウム合金圧延板の湿潤大気中での脆化挙動に及ぼす試験片採取方向の影響 / 新居浜高専 真中俊明	51	マグネシウム合金/アルミニウム合金三層爆着ウラツト材における接合界面組織の形成挙動 / 名古屋工大 (M1)今井啓太・成田麻未・渡辺義貞・佐藤 尚 産総研 BIAN Mingzhe・千野靖正	80	自動車用6000系アルミニウム合金鍛造材における複合サイクリング腐食試験と実車環境下の腐食メカニズムの比較 / 日産自動車 栗原知希・吉田 晃 神戸製鋼所 小嶋尚大	105	予備時効温度および冷間圧延率にAl-Zn-Mg-Cu合金の析出挙動と機械的特性に及ぼす影響 / 東京科学大 (M1)Zhu Zhi Hao・(M1)滑川真太・オ ミンホ・小林郁夫	134	アルミニウムのリサイクル進展に伴うスクラップ・再生地金の需要推計とスクラップ排出量の比較事例 / みずほリーチ&テック/ロジーズ 小林 元
22	Deformation and damage behavior in duplex Mg-Li alloys via synchrotron X-ray imaging and diffraction / Kyushu Univ. Z.Wu・H.Toda・H.Fujihara Tsinghua Univ. M.Zhou Southwest Jiaotong Univ. S.Wu JASRI A.Takeuchi・M.Uesugi	52	Al-Mg-Si合金上に形成したAl(OH)皮膜とエポキシ系接着剤の接着強度に及ぼすアンカー効果と水系結合の影響 / 芝浦工大 (M1)田中駿匡・(D1)鈴木啓太・(M1)菅野 遼・芹澤 愛	81	Mg-Siを添加したAA7075アルミニウム合金の作製とCe化成処理による高耐食化 / 東北大 (理 NIMS)海老名航 東北大 西本 昌史・武藤 泉	106	Al-4.5Zn-2Mg (mass%)合金の二段時効と冷間圧延が時効挙動と機械的性質に及ぼす影響 / 東京科学大 (M1)滑川真太・李 有眞・オ ミンホ・近藤行人・三宮 工・小林郁夫	135	リサイクルAl-Mg-Si合金の凝固過程における化合物の析出挙動 / 富山大 (M2)山倉佑太・加藤謙吾・小野英樹

10:30~

12:10

2025年11月9日(日)

第1会場 (1階106)	第2会場 (1階105)	第3会場 (1階102)	第4会場 (2階201)	第5会場 (2階202)
<p>力学特性3 座長：鳥取大 清水 一行 副座長：茨城大 中村 雅史</p>	<p>塑性加工1 座長：茨城大 小林 純也 副座長：芝浦工大 湯本 敦史</p>	<p>腐食防食3 座長：東京都立大 北園 幸一 副座長：日産自動車 吉田 晃</p>	<p>T1「7000系アルミニウム合金の 時効析出と諸特性」J5 / 時効析出3 座長：神戸製鋼 小松 健人 副座長：茨城大 倉本 繁</p>	<p>溶解铸造 座長：UACJ 久保 貴司 副座長：東京電機大 原田 陽平</p>
<p>23 アルミニウム合金AA7204の粒界性格分布と 応力腐食割れ発生挙動の解析 / 富山県 立大 伊藤 勉 日本軽金属 山中宏介・ 堀 久司・ 日立製作所 高橋克仁・宮永 恭・馬場輝明・川崎 健</p>	<p>53 A5052アルミニウム合金板の引張曲げ・曲げ 戻し変形における結晶塑性有限要素解析 / 岐阜大 (M2)若田章宏・箱山智之・王 志剛</p>	<p>82 AZ91マグネシウム合金/A6061アルミニウム合 金線形摩擦接合材の腐食挙動 / 産総研 中津川 聡・M.Bian・古嶋亮一 McGill Univ. M.Yasthi Martinez Charles National Research Council of Canada J.Gholipour・P.Wanjara McGill Univ. M.Pekguleryuz</p>	<p>107 Al-Zn-Mg合金押出材の時効硬化挙動にお ける組織因子の影響 / 北海道大 (M2) 榎野賢介・池田賢一・滝沢 聡・三浦誠司 室蘭工大 (D3)荒木駿佑・(M1)上野晴輝・ 安藤哲也 名古屋工大 成田麻未 超々 シユラルミン研究所 吉田英雄</p>	<p>136 【軽金属要助賞受賞講演】アルミニウム合金付 加製造での高速昇温溶融に注目した材料組織制 御 / 大阪大 奥山哲行</p>
<p>24 Al-Cu-Mg-Ni-Fe系合金鍛造材のクープ特 性および微視的組織に及ぼすCuやNi, Fe量 の影響 / 横浜国立大 (M2)中野智哉・ (D3)小嶋尚大・大龍光弘・高澤渉一</p>	<p>54 A5052アルミニウム合金板の円板圧縮解析 精度に及ぼす摩擦法則の影響 / 岐阜大 (M2)鷹崎陽生・箱山智之・王 志剛</p>	<p>83 ZM21マグネシウム合金の腐食進展挙動に及 ぼす隣接結晶粒の影響 / 芝浦工大 (M2)早坂 遼・吉原正一郎 東京大 古 島 剛</p>	<p>108 機械学習ボロノイ図に基づくAl-Cu系合金 中での原子空孔拡散挙動解析 / レソナッ ク 齋藤達志・金下武士</p>	<p>137 等軸粒からなるAl-Cu合金の固液共存変形 phase-fieldシミュレーション / 京都工業繊維 大 山中波人・高木知弘</p>
<p>25 新型耐熱アルミニウム合金の開発 / 東北 大 Huang Jinshian・安藤大輔・須藤祐司</p>	<p>55 A1050アルミニウムとSS400鋼の異材接合体 における摩擦攪拌接合条件の違いが分離性 に与える影響 / 群馬大 (B4)星分隆丞・ 半谷禎彦・岩崎 篤 大阪大接合研 森員 好昭・藤井英俊</p>	<p>84 チタンの腐食反応を用いたチタン・酸(VI)ウムの 作製 / 室蘭工大 (B4)谷野太雅・佐々 木大地・藤木裕行</p>	<p>109 U/Pt/Al-Si-Cu-Mg(-Fe)合金の相分解 挙動に対する中継材入れの影響 / 芝浦 工大 (M1)窪崎 遼・(D1)東海林瑞希・芹 澤 愛</p>	<p>138 Al-Cu合金の凝固と半凝固圧下の併用による凝 固組織と溶質濃度分布制御 / 名古屋大 (M2)黒瀬春登・原田 寛</p>
<p>26 アルミニウム飲料缶落下試験におけるバックリ ン発生高をばらつき要因の解明 / 神戸製 鋼所 田口裕樹・市川武志</p>	<p>56 A1050/SS400 接合体における解体容易な 摩擦攪拌接合条件 / 群馬大 (B4)鈴木 樹・半谷禎彦・岩崎 篤 大阪大接合研 森員好昭・藤井英俊</p>	<p>85 Corrosion behavior of porous titanium sheet with surface Pt coating for use as a PTL / Korea Aerospace Univ. (M1)Park Min Su・ (B4)Lee Tae Ho・Chang Si Young ENERICH Co., Ltd. Park Man Ho・Jin Young Min</p>	<p>110 Role of Cu in Aging Precipitation and Strengthening of Al-Zn-Mg Alloys / Univ. Tokyo (M1)Y.Innab・H.Chen・ D.Egusa・E.Abe</p>	<p>139 急冷凝固Al-V合金薄帯添加が高濃度Fe含有 Al-7%Si合金の金属組織に及ぼす影響 / 日 本軽金属 松島博喜・織田和宏</p>

13:10~  
14:30

2025年11月9日(日)

第1会場 (1階106)		第2会場 (1階105)		第3会場 (1階102)		第4会場 (2階201)		第5会場 (2階202)	
<p><b>力学特性4</b></p> <p>座長：YKK AP 小田省吾 副座長：茨城大 中村雅史</p> <p>27 機械学習を援用したTi-6Al-2Sn-4Zr-2Mo-Si合金の機械的特性に及ぼす支配因子の定量化 / 香川大 松本洋明・(D3, 現PROTERIAL)Irvin Sechepee</p>		<p><b>塑性加工2</b></p> <p>座長：富山県立大 伊藤 勉 副座長：都立産技高専 長谷川 収</p> <p>57 キンク強化マグネシウム合金における非底面欠陥分布解析 / 東京大 江草大佑・阿部 英司</p>		<p><b>ポラス材料</b></p> <p>座長：山形大 久米 裕二 副座長：JFEテクノリサーチ 小原 美良</p> <p>86 【軽金属躍進賞受賞講演】軽金属の塑性加工と製造と半凝固加工とIT / 群馬大 西田進二</p>		<p><b>時効析出4</b></p> <p>座長：北海道大 池田 賢一 副座長：横浜国立大 大瀧 光弘</p> <p>111 Al-Mg-Si合金中の過時効析出物の形態変化 / 大同大 (M2)長谷川 剛士 アイ工業 小原祐夢・大同大 高田 健 名古屋大 荒井重勇</p>		<p><b>溶解鑄造3</b></p> <p>座長：日本軽金属 松島 博美 副座長：東京科学大 小林 郁夫</p> <p>140 アルミニウム合金鑄物のNetwork tele-microscopyによる凝固組織観察の教育利用 / 兵庫県立大 永瀬支嗣・(M1)浅田凉介・(B4)辻下温貴・(M1)新橋創太・柏井茂雄 兵庫県立工技セ 兼吉高宏・山下 満 大阪大 市川 聡</p>	
<p>28 チタンおよびマグネシウムの変形双晶に対する電子状態の影響 / ISAS/JAXA 松永哲也 横浜国立大 玉置 亮 京都大 内田健人・田中耕一郎 横浜国立大 武田 淳・片山朝文 ISAS/JAXA 佐藤英一</p>		<p>58 孔型圧延されたAl-Mg合金圧延板の高温引張変形挙動とマイクロ集合組織変化 / 海上保安大 兼子 毅・(B4)重本隆明・(B4)山田剛士</p>		<p>87 セミリット発泡法で作製した発泡アルミニウム合金セル壁上の水素分析 / 千葉工大 高松聖美・(B4)清山拓夢・(B4)奥西優太 早稲田大 (D3,助手)玉田菜摘・鈴木進輔 西田進二</p>		<p>112 Al-Mg-Si系合金の粒界析出挙動 / 茨城大 (M2)美濃部麗・伊藤吉朗・倉本 繁</p>		<p>141 Al-Mg-Si合金の凝固組織に及ぼすFe, Mn添加の影響 / レソナック 金工武士・木村佳文</p>	
<p>29 放射光CTとXFEMを用いたアルミニウムダイキャスト合金の引張破壊挙動の調査 / 豊橋技科大 古田昭吾 アーレスティ 折井 晋・大井田正人・酒井信行 豊橋技科大 小林 正和</p>		<p>59 6000系アルミニウム合金パイプ材の過熱押し出し加工における加熱条件に関する解析的検討 / 岡山山大 (M2)山口聖志・上森 武・多田直哉・坂本博司</p>		<p>88 クラッド・チップ押出法による発泡アルミニウムの気孔率に及ぼすチップサイズの影響 / 群馬大 鈴木良祐・(B4)茂原翔矢</p>		<p>113 AA6022アルミニウム合金の微細組織に与える焼き入れ条件の影響 / UACJ 江目皓祐・中西英真 東京大 江草大佑・阿部英司</p>		<p>142 浮遊炉で溶解した粒子分散アルミニウム合金組織の放射光線CT解析 / 大阪大 堀川敬太郎 JAXA 小山中尋・下西里奈・行松和輝・石川毅彦・菊池政雄 JASRI 星野真人・上村健太郎</p>	
<p>30 ECA加工後の短時間加熱が6061アルミニウム合金のマイクロ組織に及ぼす影響 / 山梨大 (M1)佐々木秀・中山栄浩・猿渡直洋 丸真熱処理工業 関谷英治</p>		<p>60 Ti-Al-Cr三元系B2規則相の長範囲規則度 に及ぼす非化学量論性の影響 / 千葉大 (M2)高木二生・(B4)坂本航平・山形寛介・糸井貴臣</p>		<p>89 ポラス化可能なアルミニウム合金バットによる銅/アルミニウム合金板の接合の易解体性評価 / 群馬大 (B4)早瀬 蓮・半谷神彦・岩崎 篤 大阪大 森貞好昭・藤井英俊</p>		<p>143 電磁浮遊法を用いて測定したAl-SiおよびAl-Ti合金融体の表面張力 / 千葉工大 (M2)米山陽人・清宮徳作・岩野貴哉・小澤俊平</p>		<p>144 縦型高速ダブルロール鑄造で作製したアルミニウム合金長尺板の表面周期模様の特徴と組成分析 / 東京科学大 (D2)遠藤洋介・段野下宙志・多田 大・村石信二・熊井真次 UACJ 梶村真吾・久保貴司・戸次洋一郎</p>	

14:45~  
16:25

2025年11月8日(土) ポスターセッション (理工学部講義棟 2, 3階 廊下) ※在席時間をNo.の奇数/偶数に分けて実施※	
① 13:10~14:10 ポスターNo.奇数の発表者が在席 ② 14:15~15:15 ポスターNo.偶数の発表者が在席	
P01 磁力を利用した1000系アルミニウム合金板へのSPP放射材の接合 / 兵庫県立大 原田泰典	P08 冷間圧延と低温焼なましを用いた低濃度Mg-1.5Zn-0.1Ca(mass%)合金の曲げ成形性と引張特性の同時改善 / 長岡技術科大 (M1)伊江勇登・中田大貴・鎌土重晴
P02 耐食性・機械的耐久性・ナノ構造に基づくAl-Pe-Cu合金の表面処理 / 東京都立大 (M1)小橋聖一・池澤篤憲・柳下 崇	P09 Mg-Zn合金圧延材の引張特性と耐食性に及ぼすMn添加および均質化処理の影響 / 長岡技術科大 (M2)阿久達 英司・中田大貴・鎌土重晴
P03 Y-Ti-Al基合金の破壊靱性に及ぼす粒界相の影響 / 千葉大 (M2)原 耀人・(B4)吉田侃斗・山形遼介・糸井貴臣	P10 混合エントロピーに基づく高熱伝導・高強度Mg-A-B系三元合金の開発 / 熊本大 (M1)河野圭佑 熊本大MRC 井上晋一・河村能人
P04 レーザー粉末床溶融結合法による作製されたAl-Pe-Cu合金における高温引張変形中のIn-situ XRD測定 / 兵庫県立大 (M1)松下拓也・足立大樹・大谷祐真 名古屋大 高田尚記	P11 第二相配向型Al基crossover合金の開発 / 名古屋工大 (M1)久富公平・徳永透子・萩原幸司
P05 単結晶安定β型チタン合金の塑性変形挙動に対するナノ相の影響 / 大阪大 (M2)山西悠司・趙 研・安田弘行	P12 Al1070アルミニウムとTP340チタンとの異種金属摩擦接合継手の界面制御 / 富山大 (M2)山崎未佳・柴柳敏哉
P06 ナノ析出物を利用したβ型チタン合金の高温強度改善 / 大阪大 (M1)山下 泰知・趙 研・安田弘行	P13 圧縮引張負荷を受けた長周期積層構造型マグネシウム合金におけるキック帯近傍の強度変化 / 富山県立大 (M1)峯村凌汰・鈴木真由美
P07 MF構造型Mg-0.4Zn-1.0Y合金の微細な再結晶粒へのキック導入による高強度化 / 熊本大 (M1)佐久間一輝 熊本大MRC 井上晋一・河村能人	P14 室温多軸鍛造と熱処理によるマグネシウム合金AZX9111析出材の不均一組織の形成と力学的特性の相関 / 富山県立大 (M2)小河郁愛・鈴木真由美
P08 冷間圧延と低温焼なましを用いた低濃度Mg-1.5Zn-0.1Ca(mass%)合金の曲げ成形性と引張特性の同時改善 / 長岡技術科大 (M1)伊江勇登・中田大貴・鎌土重晴	P15 3種のアルミニウム合金を用いたボラーラ合金の加熱処理後のローラー接合 / 群馬大 (M2)長竹真吾・半谷 禎彦
P09 Mg-Zn合金圧延材の引張特性と耐食性に及ぼすMn添加および均質化処理の影響 / 長岡技術科大 (M2)阿久達 英司・中田大貴・鎌土重晴	P16 Mg-9%Al-3%Ca合金蓄電池用負極材のシロ組織に及ぼすCu, Siの影響 / 富山県立大 (M1)鎌 力・鈴木 真由美 富山大 (M1)私本泰和 東北大 附田之欣 富山大 会 東北大 中越金鍍工 田畑裕信 埼玉産技セ 栗原英紀 長岡技術科大 中田大貴 大阪工大 羽賀俊雄 東北大 金研 市平 哲
P10 混合エントロピーに基づく高熱伝導・高強度Mg-A-B系三元合金の開発 / 熊本大 (M1)河野圭佑 熊本大MRC 井上晋一・河村能人	P17 均質化処理を行わないAZ31マグネシウム合金押出材の機械的性質と微細組織に及ぼす押出条件の影響 / 長岡技術科大 (M1)清水健希・中田大貴・鎌土重晴
P11 第二相配向型Al基crossover合金の開発 / 名古屋工大 (M1)久富公平・徳永透子・萩原幸司	P18 5%室温予ひずみを受けた長周期積層構造型マグネシウム合金の圧縮強度におよぼす熱処理の影響 / 富山県立大 (M2)西谷綾真・鈴木真由美
P12 Al1070アルミニウムとTP340チタンとの異種金属摩擦接合継手の界面制御 / 富山大 (M2)山崎未佳・柴柳敏哉	P19 ECAP加工を施した折出硬化型アルミニウム合金におけるFSW用ツールの形状と接合後の熱処理による継手効率の改善 / 芝浦工大 (M2)瀧口陽亮・青木孝史 史朗
P13 圧縮引張負荷を受けた長周期積層構造型マグネシウム合金におけるキック帯近傍の強度変化 / 富山県立大 (M1)峯村凌汰・鈴木真由美	P20 OCCプロセスによるA7075アルミニウム合金鍛造線材の組織と機械的性質 / 千葉工大 (M2)瀧口直己・田村洋介
P14 室温多軸鍛造と熱処理によるマグネシウム合金AZX9111析出材の不均一組織の形成と力学的特性の相関 / 富山県立大 (M2)小河郁愛・鈴木真由美	P21 電磁凝固プロセスによるアルミニウム中Cr化合物の選択的分離と精製効果 / 千葉工大 (M2)尾迫友哉・田村洋介
P15 3種のアルミニウム合金を用いたボラーラ合金の加熱処理後のローラー接合 / 群馬大 (M2)長竹真吾・半谷 禎彦	P22 光エレクトロタン光熱変位法を用いたSiとAl間の界面熱コンタクトの推定 / 宮崎大 (M1)細越裕太・原田知季・福山敦彦
P16 Mg-9%Al-3%Ca合金蓄電池用負極材のシロ組織に及ぼすCu, Siの影響 / 富山県立大 (M1)鎌 力・鈴木 真由美 富山大 (M1)私本泰和 東北大 附田之欣 富山大 会 東北大 中越金鍍工 田畑裕信 埼玉産技セ 栗原英紀 長岡技術科大 中田大貴 大阪工大 羽賀俊雄 東北大 金研 市平 哲	P23 放電プロセスで焼結法を利用した6000系アルミニウム合金易解体バルブの作製 / 群馬大 (M1)須永丞重・半谷 禎彦・岩崎 篤・齋藤昭吾・後藤 悠 大阪接合研 森貞好昭・藤井英俊
P17 均質化処理を行わないAZ31マグネシウム合金押出材の機械的性質と微細組織に及ぼす押出条件の影響 / 長岡技術科大 (M1)清水健希・中田大貴・鎌土重晴	P24 Mg-Al-Zn合金への熱処理が蒸気コーティング皮膜の耐食性に与える影響 / 芝浦工大 (M1)福原康太・(M2)松井 偉央・(M1)大内光里・(M1)摩海有紀・石崎貴裕
P18 5%室温予ひずみを受けた長周期積層構造型マグネシウム合金の圧縮強度におよぼす熱処理の影響 / 富山県立大 (M2)西谷綾真・鈴木真由美	P25 無電解Ni-Pめっきおよびペーキングがアルミニウム合金の疲労特性に及ぼす影響 / 広島工大 (M2)浅田歩夢 大阪大 堀川敬太郎 上村工業 黒坂成高・大久保洋樹 広島工大 日野 実平・植竹亮太・川上諒大
P19 ECAP加工を施した折出硬化型アルミニウム合金におけるFSW用ツールの形状と接合後の熱処理による継手効率の改善 / 芝浦工大 (M2)瀧口陽亮・青木孝史 史朗	P26 摩擦接合接合を用いたA5052アルミニウム合金鋼重ね接合材の接合強度に及ぼす亜鉛めっきの影響 / 日本大 (M1)土田亮太・野口 祐・吉田和範・渡邊満洋
P20 OCCプロセスによるA7075アルミニウム合金鍛造線材の組織と機械的性質 / 千葉工大 (M2)瀧口直己・田村洋介	P27 無電解Ni-Pめっき処理した7075-T6アルミニウム合金の水素脆化とボイド形成 / 広島工大 (M1)水田原圭太・(M2)浅田歩夢・日野 実 上村工業 黒坂成高 大阪大 堀川敬太郎
P21 電磁凝固プロセスによるアルミニウム中Cr化合物の選択的分離と精製効果 / 千葉工大 (M2)尾迫友哉・田村洋介	P28 Al-3%Si-1%Fe合金双ロール鍛造板の表面品質に及ぼすノズル振動付与の影響 / 東京電機大 (M2)秋元秀斗・原田陽平 東京科学大 熊井真次
P22 光エレクトロタン光熱変位法を用いたSiとAl間の界面熱コンタクトの推定 / 宮崎大 (M1)細越裕太・原田知季・福山敦彦	P29 タンデム式縦型高速双ロール鍛造法によるAl-4%Cu/Al-2%Cu純Alクワッド材の作製 / 東京電機大 (M2)林 浩太・原田陽平 東京科学大 熊井真次
P23 放電プロセスで焼結法を利用した6000系アルミニウム合金易解体バルブの作製 / 群馬大 (M1)須永丞重・半谷 禎彦・岩崎 篤・齋藤昭吾・後藤 悠 大阪接合研 森貞好昭・藤井英俊	P30 分離可能な異材接合にむいた7000系アルミニウム合金鉄鋼材料の異材摩擦圧接 / 大阪大 (M2)喜木陽太郎・小 椋 智
P24 Mg-Al-Zn合金への熱処理が蒸気コーティング皮膜の耐食性に与える影響 / 芝浦工大 (M1)福原康太・(M2)松井 偉央・(M1)大内光里・(M1)摩海有紀・石崎貴裕	P31 溶体化処理後に徐冷したAl-Zn-Mg合金押出材の引張特性に及ぼすCu, Zr添加の影響 / 室蘭工大 (M1)上野 明揮・(B3)荒木駿佑・安藤哲也 名古屋工大 成田麻未 超々エンジニアリング研究所 吉田英雄 北海道大 池田賢一・(M2)桐野駿介 室蘭工大 田湯善章
P25 無電解Ni-Pめっきおよびペーキングがアルミニウム合金の疲労特性に及ぼす影響 / 広島工大 (M2)浅田歩夢 大阪大 堀川敬太郎 上村工業 黒坂成高・大久保洋樹 広島工大 日野 実平・植竹亮太・川上諒大	P32 A2024アルミニウム合金に適用した摩擦接合後の引張特性における微細組織観察評価 / 室蘭工大 (M1)辻 晃太 小野哲也・田湯善章 ワールド山内 小野寺邦之 通線研 柳庭洋平・植竹亮太・川上諒大
P26 摩擦接合接合を用いたA5052アルミニウム合金鋼重ね接合材の接合強度に及ぼす亜鉛めっきの影響 / 日本大 (M1)土田亮太・野口 祐・吉田和範・渡邊満洋	P33 Zn添加したAl-Si-Cu-Mg合金の高温引張特性に及ぼす添加元素の影響 / 室蘭工大 (M2)下中謙也・(B3)荒木駿佑・安藤哲也・田湯善章
P27 無電解Ni-Pめっき処理した7075-T6アルミニウム合金の水素脆化とボイド形成 / 広島工大 (M1)水田原圭太・(M2)浅田歩夢・日野 実 上村工業 黒坂成高 大阪大 堀川敬太郎	P34 不溶性高分子を含む電解液中におけるアルミニウムのアニオド酸化 / 工学院大 (B4)森本茂太・秋原健太・阿相英孝
P28 Al-3%Si-1%Fe合金双ロール鍛造板の表面品質に及ぼすノズル振動付与の影響 / 東京電機大 (M2)秋元秀斗・原田陽平 東京科学大 熊井真次	P35 水素プラズマ照射によるアルミニウム基板上の生成物の解析 / 茨城大 (M2)湯田浩造・伊藤吾朗・佐藤直幸・倉本 繁・小林純也
P29 タンデム式縦型高速双ロール鍛造法によるAl-4%Cu/Al-2%Cu純Alクワッド材の作製 / 東京電機大 (M2)林 浩太・原田陽平 東京科学大 熊井真次	P36 ARB加工によるAl-Si-Ge系合金の時効挙動に及ぼすひずみ量の影響 / 岡山理科大 中川恵友・(M2)佐藤星太 京都大 辻 伸泰・朴 明駿 岡山理科大 金谷輝人
P30 分離可能な異材接合にむいた7000系アルミニウム合金鉄鋼材料の異材摩擦圧接 / 大阪大 (M2)喜木陽太郎・小 椋 智	P37 ショルダーレスツールによる摩擦接合接合が1000系および6000系アルミニウム合金の微細組織と室温力学特性に及ぼす影響 / 富山県立大 (M1)加藤性弥・伊藤 勉 日本軽金属 堀 久司
P31 溶体化処理後に徐冷したAl-Zn-Mg合金押出材の引張特性に及ぼすCu, Zr添加の影響 / 室蘭工大 (M1)上野 明揮・(B3)荒木駿佑・安藤哲也 名古屋工大 成田麻未 超々エンジニアリング研究所 吉田英雄 北海道大 池田賢一・(M2)桐野駿介 室蘭工大 田湯善章	P38 縦型低速双ロールキャストイングにおけるアルミニウム合金A6061の薄板連続作製 / 群馬大 (M2)松村省吾・(M1)神藤真吾・西田進一
P32 A2024アルミニウム合金に適用した摩擦接合後の引張特性における微細組織観察評価 / 室蘭工大 (M1)辻 晃太 小野哲也・田湯善章 ワールド山内 小野寺邦之 通線研 柳庭洋平・植竹亮太・川上諒大	P39 過共晶Al-Si合金の半凝固鍛造による微細組織と機械的性質への影響 / 群馬大 (M2)石川大起・(M1)水谷春那・西田進一 豊田自動織機 名和 田一理
P33 Zn添加したAl-Si-Cu-Mg合金の高温引張特性に及ぼす添加元素の影響 / 室蘭工大 (M2)下中謙也・(B3)荒木駿佑・安藤哲也・田湯善章	P40 ツールを用いた低速高圧条件下でのアルミニウム合金7075の縦型双ロールキャストイング / 群馬大 (M1)神藤真吾・(M2)松村省吾・西田進一
P34 不溶性高分子を含む電解液中におけるアルミニウムのアニオド酸化 / 工学院大 (B4)森本茂太・秋原健太・阿相英孝	P41 LoRaWANによるアルミニウム合金A7075の双ロールキャストイング実験中の写真撮影と画像送信 / 群馬大 (M1)宮内啓太・(M1)神藤真吾・(M1)水谷春那・奥 浩之・中沢信明・荒木幹也・齋藤真之 順天堂大 隈丸加奈子 群馬大 西田進一
P35 水素プラズマ照射によるアルミニウム基板上の生成物の解析 / 茨城大 (M2)湯田浩造・伊藤吾朗・佐藤直幸・倉本 繁・小林純也	P42 二段階時効がAl-3Mg-1Cu合金の強化相の析出挙動および硬さ変化に及ぼす影響 / 東京科学大 (M2)田中 陽・Randi Holmestad・Cain D. Marioara・オミンホ・小林郁夫

2025年11月8日(土) ポスターセッション (理工学部講義棟 2, 3階 廊下) ※在席時間をNo.の奇数/偶数に分けて実施※			
① 13:10~14:10 ポスターNo. 奇数の発表者が在席 ② 14:15~15:15 ポスターNo. 偶数の発表者が在席			
P43 熱処理による第2相粒子制御が難燃性Mg合金AZ6111製造材の組織と力学的特性に及ぼす影響 / 富山県立大 (M2) 榎基光一・伊藤 勉	P50 濃度変動を利用したTi-Fe合金のヘテロ組織形成と強度 - 延性/バンス向上 / 富山県立大 (M2) 吉田理央・真中智世 大阪大電機部 佐藤和久 富山県立大 ARC 石本卓也	P64 LPSO体積分率低減がMg-Y-Zn系希薄合金析出材の機械的的特性に及ぼす影響 / 熊本大 (M2) 竹中航太・西本宗久 名古屋工大 萩原幸司 熊本大 山崎倫昭	P71 酸化グラフトで被覆したアルミニウム粉末からなる焼結合金の強度に及ぼすグラフト層の結晶性の影響 / 宇都宮大 (M2) 尾崎 諒・馬淵 豊・高山寛匡
P44 拡張ピッチ法を用いた分子軌道計算によるアルミニウム合金の物性評価 / 名古屋工大 (B4) 平松誠真・成田麻未 大阪大 水野正隆 超々シリルミン 研究所 吉田英雄	P51 頭蓋骨用インプラント適用に向けたチタン合金基オージェンセル構造体の衝撃エネルギー吸収特性 / 神戸大 (M2) 山本豊大・中江竜也・池尾直子・向井敏司	P65 マグネシウムにおける衝撃圧縮変形中の加工硬化挙動に及ぼす溶質アルミニウムの影響 / 神戸大 (M2) 中川隆太・中江竜也・池尾直子・向井敏司	P72 Easy disassembling technology for Al1050 aluminum / C1100 copper spot joints using friction stir processing / 群馬大 (M1) 柴崎 壺・半谷禎彦・岩崎 篤 大阪大接合 研 森貞好昭・藤井英俊
P45 (Ti, Zr, Hf)-6Al-4Vにおける固溶強化と相安定性変化による機械的性質の変化 / 富山県立大 (D1) 野村勇介・真中智世・Abrar Ahmed・土屋大樹・松田健二・石本卓也	P52 圧縮ねじ加工における加工条件がA7050アルミニウム合金の微視組織に及ぼす影響 / 名古屋工大 (M1) 畑野 凜・成田麻未・渡辺義典・佐藤 尚 超々シリルミン 研究所 吉田英雄	P66 止血クリップ用マグネシウムの結晶性に寄与する亜鉛およびカルシウムの添加効果 / 神戸大 (M2) 田村亮吾・中江竜也・向井敏司	P73 Precipitation Microstructure and Anisotropic Mechanical Behavior of Stress-Aged Al-Cu-Mg-Ag alloy / 東京科学大 (D2) Leon Hyunsup・村石信二・熊井真次・段野 下直志
P46 Al-4%Cu-1.5%Mg合金の耐水素脆化性及び環境温度の影響 / 茨城大 (D2) 伊藤温海・伊藤岳朗 NIMS 井誠 郎 茨城大 倉本 繁・小林純也	P53 温間圧延と高温焼純により作製したAZ31マグネシウム合金板のプレス成形性 / 兵庫県立大 (M1) 櫻地洋平・岡井大祐・原田泰典・足立大樹	P67 Al-Cu-Mg系およびAl-Zn-Mg系合金冷間圧延材の昇温脱離分析 / 茨城大 (D3) 吳 子昂・小林純也 大阪大 堀川敬太郎 茨城大 倉本 繁・伊藤 岳朗	P74 Development of Amorphous Ti-Zr-Ni-Cu Brazing Filler and its Application on the Brazing of Dissimilar Alloys / National Taiwan Ocean Univ. Pee-Yew Lee
P47 Swaging加工がMg-9Al-1Zn-xCa合金の微細組織と機械的的特性に与える影響 / 東北大 (M1) 武石直大・安藤 大輔・須藤祐司	P54 Class I型Al-Mg固溶体合金における微量不純物由来第2相粒子の熱間延性への影響 / 富山県立大 (M2) 平野祐樹・伊藤 勉	P68 水素気プロセスによって作製したAlO(OH)皮膜における熱クラックの発生および進展メカニズムの解明 / 芝浦工大 (M2) 渡辺 悟・(D1) 鈴木啓大・芹澤 愛	
P48 種々条件により封孔したアルミニウム材料表面に形成したアノード酸化皮膜の機械的特性評価 / 旭川高専 (B) 種澤 果純・(B) 山口真歩・千葉 誠	P55 大気圧プラズマ処理を用いたアルミニウム合金への表面改質がAlO(OH)皮膜の形成に及ぼす影響 / 芝浦工大 (M1) 菅野 遼・(D3) 栗原健輔・芹澤 愛	P69 水素気プロセスを施したアルミニウム合金における機械学習を用いた硬さおよび孔食電位の予測 / 芝浦工大 (M1) 種股 潮 物材機構 田村 亮 原子力機構 阿部陽介・都留智仁 芝浦 工大 芹澤 愛	
P49 等温時効熱処理を施したAl-Mg-Si合金における析出挙動に及ぼすSi添加量の影響 / 大同大 (M1) 田中はるか・高田 健	P63 時効時間を変化させたAl-Cu-Mg系合金強圧延材の引張変形中In-situ XRD解析 / 豊橋技術大 (M1) 種崎 遼太・石井裕樹・安部洋平・足立 望 兵庫県立大 足立大樹 豊橋技術大 戸高義一	P70 Ti-Nb-Ta-Zr-O合金の結晶粒径と変形挙動に及ぼす熱処理条件の影響 / 茨城大 (M1) 松本拓真・(M1) 島山 隆子・倉本 繁	

Program of The 149th Conference of Japan Institute of Light Metals  
(November 7-9, 2025 YOKOHAMA National University)

- 1 Role of solute atoms in AlO(OH) film formation on aluminum alloys in a steam atmosphere  
K.Kurihara, A.Serizawa
- 2 Improvement of strength and corrosion resistance in recycled Al-Si-Cu-Mg alloy by the steam coating process  
M.Rokunuma, M.Shoji, A.Serizawa
- 3 Effect of High-Temperature Oxide Film on the Adhesion and Corrosion Resistance of AlO(OH) Films Formed on Al-Mg-Si Alloys by the Steam Coating Process  
Y.Shirata, K.Kurihara, A.Serizawa
- 4 Effect of plating bath pH on nickel coatings on aluminum alloys  
H.Ikeda, S.Shimizu
- 5 Bonding of nitride thin films to magnesium alloy sheets by shot peening  
Y.Harada
- 6 Fabrication of double-layer alumina filters with chemical and heat resistance  
M.Yoshinaga, A.Ikezawa, T.Yanagishita
- 7 Effect of CaO/MgO film formation on nonflammability of Mg-Al-Ca alloy  
S.Inoue, R.Kumara, Y.Kawamura
- 8 Development of multifunctional coatings for improving titanium performance  
R.Tanaka, M.Nakamura
- 9 Surface quality evaluation of 6000 series aluminum alloy sheets for automotive body parts application  
T.Momose, G.Murakami, K.Ozawa, S.Sonoda, T.Aoki, M.Yamaguchi
- 10 Hydrogen trapping mechanism in Al-Cu-Fe alloys using muon spin relaxation method and thermal desorption spectroscopy  
K.Nishimura, K.Matsuda, S.Akamaru, T.Namiki, T.Tsuchiya, S.Lee, W.Higemoto, K.Shimizu, H.Toda
- 11 Influence of T-phase precipitates on environmentally induced fracture for Al-Zn-Mg alloys strengthened by high pressure torsion  
M.Takeda, H.Fujihara, H.Toda, Y.Todaka, N.Adachi, Y.Ishii
- 12 Hydrogen generation behavior and electrochemical properties of Mg-In-Ga alloys  
R.Nagata, R.Murakami, T.Matsui, A.Hirosawa, R.Yamagata, T.Itoi
- 13 Microstructural observation of Mg-In-Ga alloys and their hydrogen evolution behavior by hydrolysis  
A.Hirosawa, R.Nagata, R.Murakami, T.Matsui, R.Yamagata, T.Itoi
- 14 **【Award Lecture】** Direct measurement of mechanical response and damage behavior using 3D/4D multi-modal analysis  
H.Fujihara
- 15 In-situ XRD measurement of stress partitioning during tensile deformation of  $\alpha$ -Al-Mg<sub>2</sub>Si two-phase alloy fabricated by laser powder bed fusion  
Y.Otani, N.Takata, J.Umeda, M.Hirata, H.Adachi
- 16 In-situ observation of deformation behavior and microstructural evolution in A1200 aluminum during tensile and shear deformation  
A.Inamura, H.Adachi
- 17 Effect of sizes and distributions of secondary-phase particles on microstructures and creep properties of A2618 aluminum forged alloy  
N.Koiso, T.Nakano, M.Ootaki, S.Hirosawa
- 18 Orientation dependence of slip deformation in pure magnesium single crystals  
S.Ando, R.Niino, H.Kitahara
- 19 Critical CAL interval for kink strengthening in MF-type magnesium alloys  
Y.Kawamura, R.Tsuchiyama, S.Inoue
- 20 Ageing behavior and thermal stability of phase-translatable heat resistance Mg-Sc alloy  
D.Ando, H.Takeishi, Y.Sutou
- 21 Effect of specimen orientation on embrittlement behavior of rolled AZ31 magnesium alloy plate in humid air  
T.Manaka
- 22 Deformation and damage behavior in duplex Mg-Li alloys via synchrotron X-ray imaging and diffraction  
Z.Wu, H.Toda, H.Fujihara, M.Zhou, S.Wu, A.Takeuchi, M.Uesugi
- 23 Analysis of grain boundary character distribution and SCC initiation behavior in AA7204 aluminum alloy  
T.Ito, K.Yamanaka, H.Hori, K.Takahashi, T.Miyayama, T.Baba, T.Kawasaki
- 24 Effect of Cu, Ni and Fe contents on creep properties and microstructures of Al-Cu-Mg-Ni-Fe forged alloy  
T.Nakano, N.Koiso, M.Ootaki, S.Hirosawa

- 25 Development of new-type heat-resistant aluminum alloys  
J.Huang, D.Ando, Y.Sutou
- 26 Identification on variability of buckling failure in drop tests of aluminum beverage cans  
Y.Taguchi, T.Ichikawa
- 27 Quantitative analysis of dominant factor affecting mechanical properties of Ti-6Al-2Sn-4Zr-2Mo-Si alloy assisted by machine learning approach  
H.Matsumoto, I.Sechepee
- 28 Effect of electronic state on deformation twinning in Ti and Mg  
T.Matsunaga, R.Tamaki, K.Uchida, K.Tanaka, J.Takeda, I.Katayama, E.Sato
- 29 Investigation of Tensile Fracture Behavior in Aluminum Die-Cast Alloys Using Synchrotron X-ray CT and XFEM  
S.Furuta, S.Orii, M.Oida, N.Sakai, M.Kobayashi
- 30 Effect of short-time heating after ECAP processing on microstructure of 6061 aluminum alloy  
S.Sasaki, Y.Nakayama, N.Saruwatari, E.Sekiya
- 31 【Award Lecture】 Soft X-ray XAFS Analysis of Nanocluster Formation Behavior in Al-Mg-Si Alloys  
S.Tanaka, H.Adachi
- 32 Effect of isothermal aging-products on strength-elongation balance in Al-Mg-Si alloy  
R.Kato, K.Takata
- 33 Microstructures and age-hardening behavior of directionally solidified Al-Mg-Si alloys  
Y.Shirakami, S.Takeuchi, K.Ikeda, S.Miura
- 34 Rectification of  $\beta''$  phase arbitrarily corrected for detection efficiency using atom probe in Al-Mg-Si alloy  
M.Y.Lee, J.W.Park, D.Isheim, D.N.Seidman, J.H.Kim, M-S.Kim
- 35 Formation behavior of unique  $\alpha/\gamma$  nano lamellar microstructure in  $\beta$ -containing TiAl alloys prepared by metal additive manufacturing  
K.Cho, Y.Kono, M.Takeyama, T.Nakano, H.Y.Yasuda
- 36 Unique microstructure and mechanical properties of rapidly solidified TiAl alloy produced by DED  
K.Takechi, K.Sakata, K.Kitazono, K.Gokan, K.Mizuta
- 37 Microstructure and mechanical properties of porous Ti-6Al-4V alloy manufactured by spark plasma sintering using NaCl as a spacer  
S.Nishii, E.Kobayashi, M.Oh, Y.Tateishi
- 38 Sintering and property evaluation of zinc coated pure magnesium powder  
R.Tsukane, M.Nogawa, T.Tanaka
- 39 Enhancement in shear strength of Al/PA6 joints via bio-inspired porous anchor structure  
S.Zhou, A.Suzuki, M.Kobashi
- 40 Influencing factors on fatigue strength characteristics in friction stir welded aluminum alloy lap joints  
K.Takeuchi, Y.Miyashita, N.Seo, N.Zhang
- 41 Easy disassembling of ADC12 aluminum alloy / SS400 steel butt-joined using friction stir processing  
T.Ishigai, Y.Hangai, R.Suzuki, Y.Morisada, H.Fujii
- 42 Cutting of ADC12 aluminum alloy sheet by friction stir processing  
K.Takahashi, Y.Hangai, A.Iwasaki, Y.Morisada, H.Fujii
- 43 Easy separation of friction stir welded joints of A1050 aluminum and SS400 steel by porous  
S.Hokyo, Y.Hangai, A.Iwasaki, Y.Morisada, H.Fujii
- 44 Welding of steel and aluminum alloy by in-situ formation of an amorphous layer at the weld interface by magnetic pressure welding  
Y.Okuie, R.Kanematsu, R.Yamagata, K.Okagawa, T.Itoi
- 45 Evaluation of welding characteristics of dissimilar metal welding of magnesium alloy sheet and steel sheet by magnetic pulse welding  
Y.Mizunuma, T.Kobayashi, R.Yamagata, K.Okagawa, T.Itoi
- 46 Effect of Gap Length on Impact Deformation Analysis of Aluminum Plate in Magnetic Pulse Welding  
R.Hayashi, T.Nishimura, K.Okagawa, T.Itoi
- 47 Effect of Si content on the brazing behavior of Al-Mn alloy core brazing sheets designed for closed-loop recycling  
Y.Azuma, A.Tsuruno, T.Aki
- 48 Fracture Mode Evaluation of Al/Cu Dissimilar Joints for the Design of Separable Dissimilar Material Joints  
T.Ogura, Y.Kiyoto
- 49 Influence of welding pressure process in ultrasonic spot welding of aluminum to stainless steel  
T.Hirata, T.Tanaka
- 50 Effect of interfacial microstructure on mechanical properties in A6061/A6061 diffusion bonds  
M.Tsuchiya, H.Dannoshita, S.Muraishi, S.Kumai, T.Kitazawa, H.Makibuchi

- 51 Microstructural evolution in explosively welded aluminum/magnesium/aluminum alloy three-layer cladding plate  
K.Imai, M.Mihara-Narita, Y.Watanabe, H.Sato, M.Bian, Y.Chino
- 52 Influence of anchoring effect and hydrogen bonding on the adhesive strength between AlO(OH) films formed on Al-Mg-Si alloys and epoxy adhesives  
H.Tanaka, K.Suzuki, R.Kanno, A.Serizawa
- 53 Crystal plasticity finite element analysis of draw-bending for A5052 aluminum alloy sheet  
A.Iwata, T.Hakoyama, Z.G.Wang
- 54 Effect of friction laws on predictive accuracy of plate compression for A5052 aluminum alloy sheet  
Y.Suzaki, T.Hakoyama, Z.Wang
- 55 Effect of different friction stir welding conditions on separability of dissimilar joints of A1050 aluminum and SS400 steel  
R.Kusawake, Y.Hangai, A.Iwasaki, Y.Morisada, H.Fujii
- 56 Investigation of Friction Stir Welding Conditions for Easy Dismantling of A1050/SS400 Joints  
I.Suzuki, Y.Hangai, A.Iwasaki, Y.Morisada, H.Fuji
- 57 Non-basal dislocation distribution in Kink strengthened magnesium alloys  
D.Egusa, E.Abe
- 58 High temperature tensile deformation behavior of groove rolled Al-Mg alloy sheets and their micro texture evolution  
S.Kaneko, T.Shigemoto, T.Yamada
- 59 Analytical study of heating conditions for warm extrusion of 6000 series aluminum alloy pipe  
S.Yamakuchi, T.Uemori, N.Tada, J.Sakamoto
- 60 Effect of off-stoichiometry on the long-range ordering parameter of Ti-Al-Cr ternary B2-ordered phase  
I.Takagi, K.Sakamoto, R.Yamagata, T.Itoi
- 61 Effect of rolling on electrochemical properties and microstructures of Mg-9%Al-3%Ca alloy ribbon produced by single-roller rapid solidification  
T.Nakata, R.Uonomi, T.Matsumoto, T.Aida, H.Kurihara, H.Tabata, T.Haga, M.Suzuki, T.Tsukeda, T.Ichitsubo
- 62 Effect of rolling process temperature on electrochemical properties of Mg-Al-Ca-Si alloy ribbon for magnesium rechargeable battery  
T.Matsumoto, T. Tsukeda, H. Tabata, H. Kurihara, T. Nakata, M. Suzuki, T. Haga, T.Aida, K.Matsuda, T.Ichitsubo
- 63 Effect of amounts of Mn on electrochemical properties and microstructure of Mg-9%Al-3%Ca alloy ribbon produced by single roll rapid solidification method  
T.Tsukeda, T.Matsumoto, Y.Shimizui, T.Aida, H.Tabata, M.Suzuki, T.Haga, T.Nakata, H.Kurihara, T.Ichitsubo
- 64 Effect of iron (III) chloride solution immersion on iron oxide film formation and electrochemical properties of thin strips of anode ribbons for magnesium rechargeable batteries  
H.Muranishi, T.Tsukeda, H.Kurihara, H.Tabata, T.Haga, M.Suzuki, T.Nakata, T.Aida, T.Ichitsubo
- 65 Prototyping of single roll caster for rapidly solidified clad foil made of aluminum alloys and magnesium alloys  
N.Kinoshita, I.hara, T.Tsukeda, H.Tabata, H.Kurihara, M.Suzuki, T.Nakata, T.Aida, T.Ichitsubo, T.Haga
- 66 Effect of rolling processing on cycle characteristics of magnesium/aluminum clad ribbons produced by single-roll rapid solidification method  
I.Hara, N.Kinoshita, T.Haga, T.Tsukeda, H.Tabata, H.Kurihara, M.Suzuki, T.Nakata, T.Aida, T.Ichitsubo
- 67 Investigation of heating temperature for 90% aluminum alloy foil used in lithium-ion batteries  
Y.Shimizu, T.Tsukeda, H.Kurihara, H.Tabata, T.Haga, T.Tsuchiya, K.Matsuda, T.Aida, T.Ichitsubo
- 68 Effect of Mn addition to Al-Si alloy anode ribbon for lithium battery on electrochemical properties  
T.Mizuno, T.Hibino, T.Tsukeda, H.Kurihara, H.Tabata, T.Haga, T.Tsuchiya, K. Matsuda, T. Aida, T.Ichitsubo
- 69 Preparation of Al-Mn alloy ribbons by single roll rapid solidification method and anode properties for Lithium battery  
T.Hibino, T.Tsukeda, H.Kurihara, H.Tabata, T.Haga, T.Tsuchiya, K.Mastuda, T.Aida, T.Ichitsubo
- 70 Effect of transition metal element additions on the phase stability of LPSO phases in Mg-Co-Y alloys  
K.Iwase, Y.Handa, R.Yamagata, T.Horiuchi, S.Miura, T.Itoi
- 71 Effect of mixing enthalpy on the improvement of thermal conductivity by heat treatment in Mg-A-B ternary alloys  
Y.Wang, S.Inoue, Y.Kawamura
- 72 Modulated microstructure formation by slow-cooling treatment in Ti-35Zr alloy  
T.Shiraishi, T.Kiguchi, Y.Shimada, S.Ikubo
- 73 Effect of cathodic reactivity on antibacterial properties of AA1050 aluminum alloys  
T.Kosaba, E.Tada
- 74 Effect of Cu Content on Corrosion of Al-Si Die Casting Materials  
M.Ohara, S.Orii, M.Oida, S.Suzuki, M.Murase
- 75 Hydrogen evolution behavior during galvanic corrosion between anodized aluminum 1050 and carbon fiber  
K.Takahashi, M.Sakai

- 76 Corrosion protection by formation of self-healing surface layer with double structure on Al material surface  
N.Hatakeyama, R.Shibata, R.Takada, M.Chiba
- 77 Effects of Si content on intergranular corrosion susceptibility of Al-Zn sacrificial materials in high-temperature water environments  
K.Sawada, K.Ichida, D.Yamamoto
- 78 Effect of Cr addition on corrosion in Al-Mg-Si alloys  
R.Sugawara, T.Kaneshita
- 79 Corrosion initiation at microstructural heterogeneities on the surface of high-strength aluminum alloy  
K.Do, R.Fukuda, S.Hiromoto, T.Yamamoto
- 80 Comparative study of corrosion mechanisms between cyclic corrosion testing and actual vehicle environments for automotive 6000 series forged aluminum alloys  
T.Kurihara, A.Yoshida, N.Koiso
- 81 Fabrication of Mg<sub>2</sub>Si-added AA7075 aluminum alloy and improvement of corrosion resistance by cerium conversion coatings  
K.Ebina, M.Nishimoto, I.Muto
- 82 Corrosion behavior of linear friction welded AZ91 magnesium alloy / A6061 aluminum alloy joint  
I.Nakatsugawa, M.Bian, R.Furushima, M.V.Martinez Charles, J.Gholipour, P.Wanjara, M.Pekguleryuz
- 83 Effect of Neighboring Grains on the Corrosion Propagation Behavior of ZM21 Magnesium Alloy  
R.Hayasaka, S.Yoshihara, T.Furushima
- 84 Production of Barium Titanate using corrosion reaction of Titanium  
T.Konno, D.Sasaki, H.Fujiki
- 85 Corrosion behavior of porous titanium sheet with surface Pt coating for use as a PTL  
M.S.Park, T.H.Lee, S.Y.Chang, M.H.Park, Y.M.Jin
- 86 **【Award Lecture】** Plastic forming, casting, semi-solid forging and IT of light metals  
S.Nishida
- 87 Analysis for quantity of hydrogen on cell walls of aluminum alloy foam fabricated by semi-solid route  
S.Takamatsu, T.Kiyoyama, Y.Okunishi, N.Tsuchida, S.Suzuki
- 88 Effect of chip size on porosity of aluminum foams produced by clad • chip extrusion  
R.Suzuki, S.Mohara
- 89 Easy disassembly evaluation of steel/aluminum alloy plate joint using foamable aluminum alloy rivets  
R.Hayase, Y.Hangai, A.Iwasaki, Y.Morisada, H.Fujii
- 90 Compressive properties of aluminum alloy lattice structures with modified deformation modes by bracing  
M.Kosaka, R.Zhao, K.Kitazono
- 91 **【Award Lecture】** Improvement on material properties of heat-treatable aluminum alloys  
M.Takaya
- 92 **【Keynote】** Microstructural control of Al-Zn-Mg alloys  
H.Yoshida, T.Minoda, M.Mihara-Narita
- 93 Quench induced precipitation and age-hardening behavior of Al-Zn-Mg alloys  
M.Mihara-Narita, H.Fröck, C.D.Marioara, H.Yoshida, B.Milkereit
- 94 Formation process of the interstitial atom in solute atom clusters in Al-Zn-Mg alloys  
M.Mizuno, H.Araki
- 95 Characterization of aging precipitation behavior of furnace-cooled Al-6%Zn-0.75%Mg alloy by in situ small-angle X-ray scattering  
T.Ishida, T.Suzuki, M.Mihara-Narita, H.Yoshida, M.Ohnuma
- 96 Effect of precipitation strengthening on work hardening behavior in age-hardened aluminum alloys  
H.Adachi, T.Inoue, Y.Miyaji
- 97 Aging precipitation behavior of Al-Zn-Mg alloy with controlled cooling rate after solution heat treatment  
S.Araki, H.Ueno, T.Ando, M.Mihara-Narita, H.Yoshida, K.Ikeda, S.Togano, Y.Tayu
- 98 Evolution of nanostructures with aging in furnace cooled Al-6Zn-0.79Mg alloys  
T.Matsuzaki, T.Homma
- 99 **【Award Lecture】** Quantum beam analysis of hydrogen trapping and hydrogen embrittlement in Al-Zn-Mg alloys  
K.Shimizu
- 100 Effect of precipitation microstructure on hydrogen embrittlement in over-aged Al-Zn-Mg ternary alloys  
S.Atsumi, R.Isaka, S.Masuda, T.Higuchi, T.Suzuki, G.Itoh, S.Kuramoto
- 101 EBSD analysis on crystal orientation of intergranular fracture surface caused by hydrogen embrittlement in Al-Zn-Mg-Cu alloy  
R.Nagai, G.Itoh, S.Ii, S.Kuramoto, J.Kobayashi

- 102 Resistance to hydrogen embrittlement of Al-Zn-Mg-Cu alloy solutionized, up-quenched and subsequently artificially aged  
J.Li, Y.Maruyama, A.Ito, G.Itoh, S.Kuramoto, J.Kobayashi
- 103 Effect of grain boundary precipitates on SCC of extruded high strength 7000 series aluminum alloy in the step-quenching after solid solution treatment  
T.Yoshida, Y.Hamataka, S.Lee, T.Tsuchiya, S.Murakami, K.Matsuda
- 104 Precipitation Behavior in Low Zn/Mg Al-Zn-Mg Alloys Aged at 120°C  
W.Sanphiboon, T.Tsuchiya, S.Lee, A.Ahmed, N.Nunomura, S.Ikeno, K.Matsuda, K.Shibata, H.Matsui, T.Yoshida
- 105 Effect of pre-aging temperature and rolling reduction on the precipitation behavior and mechanical properties of Al-Zn-Mg-Cu Alloy  
Z.Z.Hao, Y. Namekawa, M.Oh, E.Kobayashi
- 106 Effects of two-stage aging and cold rolling on precipitation behavior and mechanical properties of Al-4.5Zn-2Mg (mass%) alloy  
Y.Namekawa, Y.Rhee, M.Oh, Y.Kondo, T.Sannomiya, E.Kobayashi
- 107 Effect of microstructural factors on age-hardening behavior of extruded Al-Zn-Mg alloy  
S.Togano, K.Ikeda, S.Takizawa, S.Miura, S.Araki, H.Ueno, T.Ando, M.Mihara-Narita, H.Yoshida
- 108 Machine-learning potential based analysis of vacancy diffusion behavior in Al-Cu alloys  
T.Saito, T.Kaneshita
- 109 Effect of step quenching on phase decomposition behavior of recycled Al-Si-Cu-Mg(-Fe) alloys  
R.Shinozaki, M.Shoji, A.Serizawa
- 110 Role of Cu in Aging Precipitation and Strengthening of Al-Zn-Mg Alloys  
Y.Innab, H.Chen, D.Egusa, E.Abe
- 111 Morphological evolution of precipitates in over-aged Al-Mg-Si alloys  
K.Hasegawa, T.Kohara, K.Takata, S.Arai
- 112 Grain boundary precipitation behavior in Al-Mg-Si alloys  
R.Minobe, G.Itoh, S.Kuramoto
- 113 Effect of quenching conditions on microstructures of AA6022 Aluminum Alloy  
K.Gonome, H.Nakanishi, D.Egusa, E.Abe
- 114 EBSD observation of rolled aluminum with spherical index method  
T.Fukino
- 115 Effect of microstructures on crack propagation during bending of Al-Mg-Si alloy with high Fe and Si contents  
K.Kondo, H.Ootaki, S.Hirosawa, H.Shishido
- 116 Effect of hot working conditions on strength of 1100 aluminum  
M.Inagaki, H.Nakanishi, H.Tanaka, H.Adachi
- 117 Effects of short-time heating after ECAP processing on microstructure of AM60B magnesium alloy  
K.Shirakura, N.Saruwatari, E.Sekiya, Y.Nakayama
- 118 Development of long-life magnesium batteries with structurally robust tunnel oxide cathode  
R.Iimura, T.Mandai, M.Smeu, M.Matsui, I.Honma, H.Kobayashi
- 119 Evaluation of slip persistence in a polycrystalline  $\beta$ -titanium alloy Ti-22V  
R.Yano, T.Morikawa, S.Yamasaki, T.Tsuru, M.Tanaka
- 120 Compatibility of low Young's modulus and high strength in metastable  $\beta$ -type Titanium alloy through microstructure control via laser-powder bed fusion (L-PBF)  
K.Miyasawa, R.Ozasa, D.Egusa, E.Abe, M.Tane, T.Nakano
- 121 Effect of initial superheating on supercooling behavior of Al-Cu-Si alloy-based phase change microcapsules  
Y.Shimizu, K.Tanahashi, M.Jeem, T.Nomura
- 122 Effect of dust concentration on the preheat zone in aluminum dust flames  
R.Saeki, W.Kim
- 123 **【Award Lecture】** Controlling composition and microstructure of Ti alloys for enhanced biomechanical functions  
T.Ishimoto
- 124 Effects of severe plastic deformation on tribological properties of  $\beta$ -type titanium alloy  
H.Ebisawa, I.Kuboki
- 125 Effect of Martensitic Transformation and Nanostructure on Mechanical Properties of Sintered Ti-Nb-Zr Alloys  
N.Takahashi, T.Homma
- 126 Effects of strain rate during Equal-Channel Angular Pressing on the fatigue properties of ZM21 magnesium alloy  
R.Yamada, Y.Ito, S.Yoshihara, D.Suzuki, Y.Nosaka
- 127 Development of an automatic evaluation technology for sub surface band formed during direct chill (DC) casting of aluminum alloys  
Y.Taniyama

- 128 Comparison of casting ingot structures of 5052 aluminum alloy produced by additive manufacturing and direct chill (DC) casting  
Y.Taniyama
- 129 Simulation results of inclusions in aluminum melt on Ceramic Tube Filter  
Y.Shinomiya, K.Kamiya, C.Matsuno
- 130 Amorphization of semimetals by liquid quenching of aluminum alloys  
R.Yamada, J.T.Okada, K.Inagaki, T.Wada, H.Kato
- 131 Mass balance model and its application to aluminum materials  
T.Suzuki, I.Daigo
- 132 Estimation of aluminum alloy scrap input for aluminum alloy production  
K.Takeyama, I.Daigo, T.Hoshino
- 133 Application of machine learning pattern matching to LIBS for rapid-speed sorting of JIS-specified aluminum alloys  
S.Kashiwakura, S.Kosai, E.Yamasue
- 134 Example of comparison between estimated demand for scrap and recycled metal and scrap emissions due to progress in aluminium recycling  
G.Kobayashi
- 135 Precipitation behavior of inclusions during solidification of recycled Al-Mg-Si alloy  
Y.Kogura, K.Kato, H.Ono
- 136 **【Award Lecture】** Microstructure control focusing on rapid heating condition in additive manufacturing of aluminum alloys  
M.Okugawa
- 137 Phase-field simulations of semi-solid deformation for Al-Cu alloy consisting of equiaxed grains  
N.Yamanaka, T.Takaki
- 138 Control of solidification structure and solute distribution in Al-Cu alloy by solidification and semi-solid reduction  
A.Takase, H.Harada
- 139 Effect of addition of melt quenched Al-V alloy ribbon on microstructure of Al-7%Si alloy with high Iron  
H.Matsushima, K.Oda
- 140 Educational activities by Network Tele-Microscopy observation of the solidification microstructure in aluminum alloy castings  
T.Nagase, R.Asada, H.Tsujishita, S.Shimbashi, S.Kashiwai, T.Kaneyoshi, M.Yamashita, S.Ichikawa
- 141 Effects of Fe and Mn Additions on Solidification Microstructure of Al-Mg-Si Alloys  
T.Kaneshita, Y.Kimura
- 142 Microstructural characterization of particle-dispersed aluminum alloy melted in a levitated state via synchrotron X-ray CT  
K.Horikawa, C.Koyama, R.Shimonishi, K.Yukimatsu, T.Ishikawa, M.Kikuchi, M.Hoshino, K.Uesugi
- 143 Compariosn of surface tension of melting Al-Si and Al-Ti measured by electromagnetic levitator  
H.Yoneyama, Y.Seimiya, T.Iwano, S.Ozawa
- 144 Three-dimensional shape and compositional analysis of periodic surface patterns of aluminum alloy long cast strip fabricated by Vertical-Type High-Speed Twin-Roll Casting  
Y.Endo, H.Dannoshita, M.Tada, S.Muraishi, S.Kumai, S.Kajimura, T.Kubo, Y.Betsuki
- P01 Bonding of SP shot material to 1000 series aluminum alloy sheet using magnetic force  
Y.Harada
- P02 Al surface treatment for improving corrosion resistance, mechanical durability, and surface functionality  
K.Kohashi, A.Ikezawa, T.Yanagishita
- P03 Effect of grain boundary  $\beta$  phase on fracture toughness of  $\gamma$ -TiAl-based alloys  
K.Hara, N.Yoshida, R.Yamagata, T.Itoi
- P04 In-situ XRD measurement during high-temperature tensile deformation of Al-Fe-Cu alloy manufactured by laser-powder bed fusion  
T.Matsushita, H.Adachi, Y.Otani, N.Takata
- P05 Effect of nano-sized  $\omega$  phase on the plastic deformation behavior of single-crystal metastable  $\beta$ -Ti alloy  
Y.Yamauchi, K.Cho, H.Y.Yasuda
- P06 Improvement of high temperature strength of beta-type Ti alloys via nanoprecipitation  
T.Yamashita, K.Cho, H.Y.Yasuda
- P07 High strength enhancement by introducing kinks into fine recrystallized grains of MF-structured Mg-0.4Zn-1.0Y alloy  
K.Sakuma, S.Inoue, Y.Kawamura
- P08 Simultaneous improvement of bending formability and tensile properties of a dilute Mg-1.5Zn-0.1Ca(mass%) alloy by cold-rolling and low-temperature annealing  
Y.Nakae, T.Nakata, S.Kamado
- P09 Effect of Mn addition and homogenization treatment on tensile properties and corrosion resistance of rolled Mg-Zn alloy sheets  
E.Akutsu, T.Nakata, S.Kamado

- P10 Development of high thermal conductivity and high strength Mg-A-B ternary alloys based on mixing enthalpy  
K.Kawano, S.Inoue, Y.Kawamura
- P11 Development of Second-Phase-Oriented Al-Based Crossover Alloys  
K.Hisatomi, T.Tokunaga, K.Hagihara
- P12 Interface control in dissimilar A1070 aluminum and TP340 titanium joint produced by Disc Friction Joining  
M.Yamazaki, T.Shibayanagi
- P13 Evolution of strength in and around kink bands in long-period stacking ordered magnesium alloy under compression-tension loading  
R.Minemura, M.Suzuki
- P14 Correlation between mechanical properties and the heterogeneous microstructure formed by room-temperature multi-directional forging and heat treatments in AZX911 extruded magnesium alloy  
I.Ogawa, M.Suzuki
- P15 Roller joining of porous aluminum with three different aluminum alloys immediately after heating and foaming  
S.Nagatake, Y.Hangai
- P16 Effects of microstructures on Cu and Si in Mg-9%Al-3%Ca alloy anode material for magnesium rechargeable batteries  
R.Mori, M.Suzuki, T.Matsumoto, T.Tsukeda, T.Aida, H.Tabata, H.Kurihara, T.Nakata, T.Haga, T.Ichitsubo
- P17 Effect of extrusion conditions on mechanical properties and microstructure of extruded AZ31 Mg alloy without homogenization-treatment  
Y.Shimizu, T.Nakata, S.Kamado
- P18 Effects of heat treatments on compressive strength of long-period stacking ordered magnesium cast alloy pre-strained by 5% at room temperature  
R.Nishitani, M.Suzuki
- P19 Improvement of joint efficiency by tool geometry for FSW and post-weld heat treatment in precipitation-hardened aluminum alloys deformed by ECAP  
Y.Mizoguchi, K.Aoki
- P20 Microstructure and mechanical properties of A7075 aluminum alloy cast wire fabricated by the OCC Process  
I.Hamashita, Y.tamura
- P21 Selective separation of Cr compounds from aluminum by electromagnetic solidification process and its refining effect  
Y.Osako, Y.Tamura
- P22 Estimating the thermal boundary conductance between Si and Al using the laser heterodyne photothermal displacement method  
Y.Hosokoshi, T.Harada, A.Fukuyama
- P23 Fabrication of 6000 series aluminum alloy disassemblable rivets using spark plasma sintering method  
R.Sunaga, Y.Hangai, A.Iwasaki, S.Saito, Y.Goto, Y.Morisada, H.Fujii
- P24 Influence of heat treatment on the corrosion resistance of vapor-coated Mg-Al-Zn alloy  
K.Fukuhara, I.Matsui, H.Ouchi, Y.Atsumi, T.Ishizaki
- P25 Effect of electroless Ni-P plating and baking on fatigue properties of aluminum alloys  
A.Asada, K.Horikawa, S.Kurosaka, H.Okubo, M.Hino
- P26 Effect of zinc plating on joint strength of A5052 aluminum alloy/steel lap joint fabricated by using friction stir welding  
R.Tsuchida, Y.Noguchi, K.Yoshida, M.Watanabe
- P27 Hydrogen embrittlement of 7075-T6 aluminum alloy treated with electroless Ni-P plating and void formation  
K.Odawara, A.Asada, M.Hino, S.Kurosaka, K.Horikawa
- P28 Effect of nozzle vibration on surface quality of Al-3%Si-1%Fe alloy twin-roll cast strips  
S.Akimoto, Y.Harada, S.Kumai
- P29 Fabrication of Al-4%Cu/Al-2%Cu/pure Al clad strip by vertical-type high-speed tandem twin-roll casting  
K.Hayashi, Y.Harada, S.Kumai
- P30 Dissimilar Friction Welding of 7000 Series Aluminum Alloy and Steel for Separatable Dissimilar Material Joining  
Y.Aoki, T.Ogura
- P31 Effect of Cr, Zr addition on aging properties of furnace-cooled Al-Zn-Mg extruded alloy after solution heat treatment  
H.Ueno, S.Araki, T.Ando, M.Mihara-Narita, H.Yoshida, K.Ikeda, S.Togano, Y.Tayu
- P32 Evaluation of Microstructure Observation in Aging Characteristics after Friction Stir Welding Applied to A2024 Aluminum Alloy  
A.Tsuji, T. Ando, Y.Tayu, K.Onodera, Y.Sakuraba, R.Uetake, R.Kawakami
- P33 Effect of additive elements on tensile properties under elevated temperature of Zn added Al-Si-Cu-Mg Cast alloys  
R.Shimonaka, S.Araki, T.Ando, Y.Tayu
- P34 Anodization of aluminum in electrolyte containing insoluble polymer  
H.Morimoto, K.Hagiwara, H.Asoh

- P35 Analysis of products generated on aluminum substrates by hydrogen plasma irradiation  
H.Yuda, G.Itoh, N.Sato, S.Kuramoto, J.Kobayashi
- P36 Effect of amount of strain for aging behavior of Al-Si-Ge alloys fabricated by ARB processing  
K.Nakagawa, S.Sato, N.Tsuji, M.Park, T.Kanadani
- P37 Effect of friction stir welding using a shoulderless tool on the microstructure and room-temperature mechanical properties of 1000 and 6000 series aluminum alloys  
T.Kato, T.Ito, H.Hori
- P38 Continuous strip casting of aluminum alloy A6061 with vertical low-speed twin roll caster  
M.Matsumura, S.Kando, S.Nishida
- P39 Effect of semi-solid forging on microstructure and mechanical properties of super-eutectoid Al-Si alloys  
D.Ishikawa, H.Oya, S.Nishida, I.Nawata
- P40 Vertical twin roll casting of aluminum alloy 7075 under low speed and high rolling pressure conditions using copper rolls  
S.Kando, S.Matsumura, S.Nishida
- P41 Taking pictures and transmitting images during twin roll-casting experiments of aluminum alloy A7075 using LoRaWAN  
K.Miyauchi, S.Kando, H.Oya, H.Oku, N.Nakazawa, M.Araki, T.Saitoh, K.Kumamaru, S.Nishida
- P42 Effects of two-step aging on precipitation behavior of hardening phase and hardness change of Al-3Mg-Cu alloy  
H.Tanaka, R.Holmestad, C.D.Marioara, M.Oh, E.Kobayashi
- P43 Effect of Second-Phase Particle Control by Heat Treatment on the Microstructure and Mechanical Properties of Flame-Retardant AZX611 Cast Magnesium Alloy  
K.Fukuno, T.Ito
- P44 Application of the extended Hückel method to the evaluation of properties of aluminium alloys  
S.Hiramatsu, M.Mihara-Narita, M.Mizuno, H.Yoshida
- P45 Effects of solid-solution strengthening and phase stability changes on the mechanical properties of (Ti,Zr,Hf)-6Al-4V  
Y.Nomura, T.Manaka, A.Ahmed, T.Tsuchiya, K.Matsuda, T.Ishimoto
- P46 Resistance to hydrogen embrittlement of Al-4%Cu-1.5%Mg alloy affected by humidity in the environment  
A.Ito, G.Itoh, S.Ii, S.Kuramoto, J.Kobayashi
- P47 Effect of rotary swaging on microstructure and mechanical properties of Mg-9Al-1Zn-xCa alloys  
H.Takeishi, D.Ando, Y.Sutou
- P48 Mechanical properties of anodized aluminum materials after pore sealing treatment with various conditions  
K.Fukuzawa, M.Yamaguchi, M.Chiba
- P49 Effect of Si content on precipitation in isothermally aged Al-Mg-Si alloys  
H.Tanaka, K.Takata
- P50 Heterostructure formation and enhancement of strength-ductility balance in Ti-Fe alloys utilizing concentration modulation  
R.Yoshida, T.Manaka, K.Sato, T.Ishimoto
- P51 Impact energy absorption capability of titanium alloy-based open-cell structures for use in cranial implants  
T.Yamamoto, T.Nakatsuji, N.Ikeo, T.Mukai
- P52 Effect of compressive torsion processing on the microstructure of A7050 aluminum alloy  
R.Hosono, M.Mihara-Narita, Y.Watanabe, H.Sato, H.Yoshida
- P53 Press formability of AZ31 magnesium alloy sheet fabricated by warm rolling and high temperature annealing  
Y.Onji, D.Okai, Y.Harada, H.Adachi
- P54 Effect of Second-Phase Particles Formed by Trace Impurities on the Hot Ductility of Class I Al-Mg Solid Solution Alloys  
Y.Hirano, T.Ito
- P55 Effect of surface modification by atmospheric pressure plasma treatment on AlO(OH) film formation on aluminum alloys  
R.Kanno, K.Kurihara, A.Serizawa
- P56 In-situ XRD analysis during tensile deformation of Al-Cu-Mg hard-rolled alloys with different aging times  
R.Shinozaki, Y.Ishii, Y.Abe, N.Adachi, H.Adachi, Y.Todaka
- P57 Fractal dimension analysis of abnormal grain growth with monte-carlo simulation in friction stir welding of aluminum alloy  
Y.Oonishi, T.Shibayanagi, T.Yamane
- P58 Dynamic visualization of material flow in the vicinity of probe in FSW with the translucent fluid  
T.Kono, T.Shibayanagi, T.Yamane
- P59 Development of a steam coating process to improve the strength and corrosion resistance of Mg-6Al-1Zn-2Ca alloy  
H.Ouchi, Y.Atsumi, K.Fukuhara, I.Matsui, T.Ishizaki
- P60 Elucidation of zinc addition for enhancing the performance of biodegradable magnesium  
G.Gosho, R.Nakatsuji, N.Ikeo, T.Mukai

- P61 Improvement of corrosion resistance of Mg-Y-Zn alloys via alloy dilution and Al-addition  
D.Ishimine, S.Nishimoto, M.Yamasaki
- P62 Strength properties of sintered aluminum powder coated with carbon-based nanoparticles consisting mainly of sp<sup>2</sup> bonds with low oxidation  
M.Shibayama, R.Ozaki, Y.Mabuchi, S.Araki
- P63 Preparation of layered double hydroxide films on Al-Si-Cu alloy by steam coating using surfactants  
I.Matsui, Y.Atsumi, H.Ouchi, K.Fukuhara, T.Ishizaki
- P64 Influence of LPSO volume fraction on mechanical properties of extruded Mg-Y-Zn dilute alloys  
K.Takenaka, S.Nishimoto, K.Hagihara, M.Yamasaki
- P65 Influence of solute aluminum on the work-hardening behavior of magnesium under impact compression  
K.Nakagawa, T.Nakatsuji, N.Ikeo, T.Mukai
- P66 Individual effects of zinc or calcium addition on the ligation strength of magnesium for hemostatic clip applications  
K.Nakamura, T.Nakatsuji, T.Mukai
- P67 Thermal desorption analysis in cold-rolled Al-Cu-Mg and Al-Zn-Mg alloys  
Z.Wu, J.Kobayashi, K.Horikawa, S.Kuramoto, G.Itoh
- P68 Mechanism of initiation and propagation of thermal cracks in AlO(OH) films fabricated by the steam coating process  
S.Watanabe, K.Suzuki, A.Serizawa
- P69 Prediction of hardness and pitting potential of steam-coated aluminum alloys using machine learning  
U.Inomata, R.Tamura, Y.Abe, T.Tsuru, A.Serizawa
- P70 Effect of heat treatment condition on grain size and deformation behavior in Ti-Nb-Ta-Zr-O alloy  
T.Matsumoto, R.Hatakeyama, S.Kuramoto
- P71 Effect of graphene crystallinity on the strength of sintered graphene-oxide-coated aluminum alloys  
R.Ozaki, Y.Mabuchi, Y.Takayama, M.Shioda, I.Murakami, S.Araki, M.Shimojo, Y.Miura
- PE72 Easy disassembling technology for A1050 aluminum / C1100 copper spot joints using friction stir processing  
R.Shibasaki, Y.Hangai, A.Iwasaki, Y.Morisada, H.Fujii
- PE73 Precipitation Microstructure and Anisotropic Mechanical Behavior of Stress-Aged Al-Cu-Mg-Ag alloy  
H.Jeon, S.Muraishi, S.Kumai, H.Dannoshita
- PE74 Development of Amorphous Ti-Zr-Ni-Cu Brazing Filler and its Application on the Brazing of Dis-similar Alloys  
P.-Y.Lee